

132
2g



UNIVERSIDAD NACIONAL AUTONOMA DE MEXICO
FACULTAD DE INGENIERIA

PLACAS AMORTIGUADAS HISTERETICAMENTE, EXCITADAS
POR CARGA PUNTUAL ARMONICA

T E S I S
QUE PARA OBTENER EL TITULO DE:
INGENIERO CIVIL
P R E S E N T A:

BERNARDO SANCHEZ VELASCO

DIRECTOR:

DR. JOSE LUIS URRUTIA GALICIA

TESIS CON
FALLA DE ORIGEN



México, D. F.

Octubre 1990



UNAM – Dirección General de Bibliotecas Tesis Digitales Restricciones de uso

DERECHOS RESERVADOS © PROHIBIDA SU REPRODUCCIÓN TOTAL O PARCIAL

Todo el material contenido en esta tesis está protegido por la Ley Federal del Derecho de Autor (LFDA) de los Estados Unidos Mexicanos (México).

El uso de imágenes, fragmentos de videos, y demás material que sea objeto de protección de los derechos de autor, será exclusivamente para fines educativos e informativos y deberá citar la fuente donde la obtuvo mencionando el autor o autores. Cualquier uso distinto como el lucro, reproducción, edición o modificación, será perseguido y sancionado por el respectivo titular de los Derechos de Autor.

INDICE.

| | Página. |
|---|---------|
| NOMENCLATURA | iii-iv |
| INDICE DE FIGURAS | v-vi |
| INDICE DE TABLAS | vii |
| CAPITULO I. | |
| 1. INTRODUCCION | 1-5 |
| 1.1. CONSIDERACIONES GENERALES | 1-2 |
| 1.2. OBJETIVOS | 2 |
| 1.3. CONCEPTOS | 2-5 |
| CAPITULO II. | |
| 2. REVISION LITERARIA..... | 6-18 |
| CAPITULO III. | |
| 3. MODELO MATEMATICO | 19-40 |
| 3.1. VIBRACION FORZADA EN MEDIOS CONTINUOS | 19-29 |
| 3.1.1. El Factor de Participación Modal | 19-23 |
| 3.1.2. Condiciones Iniciales | 23-25 |
| 3.1.3. Solución de la Ecuación del Factor de Participación Modal | 25-26 |
| 3.1.3.1. Respuesta Armónica Establecida | 25-26 |
| 3.1.4. Sistemas Continuos | 26-29 |
| 3.1.4.1. Vibración Forzada en Placas | 26-28 |
| 3.1.4.2. Vibración Forzada en Vigas | 28-29 |
| 3.2. VIBRACIONES LIBRES EN PLACAS | 29-31 |

| | |
|---|-------|
| 3.2.1. Cálculo de Frecuencias Naturales y Funciones Coordinadas en Placas | 29-31 |
| 3.3. AMORTIGUAMIENTO HISTERETICO | 32-37 |
| 3.4. ANALISIS DINAMICO DE UNA PLACA AMORTIGUADA HISTERETICA- MENTE Y EXCITADA POR UNA CARGA PUNTUAL ARMONICA | 37-40 |

CAPITULO IV.

| | |
|---|-------|
| 4. ANALISIS NUMERICO | 41-60 |
| 4.1. ANALISIS DINAMICO DE PLACAS AMORTIGUADAS HISTERETICA- MENTE, EXCITADAS POR UNA CARGA PUNTUAL ARMONICA | 41-60 |
| 4.1.1. Desplazamiento Dinámico Máximo | 41-60 |

CAPITULO V.

| | |
|-----------------------|-------|
| 5. CONCLUSIONES | 61-62 |
|-----------------------|-------|

| | |
|-------------------|-------|
| REFERENCIAS | 63-64 |
|-------------------|-------|

| | |
|--|-------|
| APENDICE A. CALCULO DE LA ENERGIA DISIPADA POR UNA CARGA PUNTUAL, EN UNA PLACA CON AMORTIGUAMIENTO HISTERETICO (η) | 65-67 |
|--|-------|

Nomenclatura.

- T Período.
- f Frecuencia circular (hertz).
- ω Frecuencia de excitación (rad/seg).
- ω_k Frecuencia natural del sistema para el k-ésimo modo de vibrar.
- η Factor de Pérdidas.
- λ Fracción del amortiguamiento crítico.
- ρ Peso volumétrico.
- h Espesor.
- t Tiempo
- E Módulo de Young.
- E^* Módulo complejo $E^* = (1 + i\eta)$
- F Magnitud de la carga aplicada
- a, b Dimensiones de la placa en el plano, en in.
- m Masa.
- D Rigidez a la flexión.
- F_k^* Función de carga para el k-ésimo modo.
- $\delta(x-x')$
- $\delta(y-y')$ Función de Dirac.

- η_k Factor de participación modal para el k-ésimo modo
- U_k Función coordinada(modal) para el k-ésimo modo
- $u_{jk}(x,y,t)$ Respuesta dinámica del sistema.
- δ_{smax} Deflexión estática máxima.
- δ_{dmax} Deflexión dinámica máxima.
- α_1, α_2 Coordenadas curvilíneas.
- m, n Números modales.
- Λ_k Magnitud de la respuesta.
- k Constante del resorte
- ϕ_k Ángulo de fase
- ft Pies.
- in Pulgadas.
- lbs Libras.
- s Segundos.

INDICE DE FIGURAS

| Figuras. | página |
|--|--------|
| 2.1. Modelo idealizado de un grado de libertad, con amortiguamiento a) viscoso y b) hysterético | 14 |
| 2.2. Lazo cerrado de fuerza-desplazamiento para el caso viscoso | 14 |
| 2.3. Lazo cerrado de fuerza-desplazamiento para el caso hysterético sin considerar la acción del resorte | 15 |
| 2.4. Lazo cerrado de fuerza-desplazamiento para el caso hysterético considerando la acción del resorte | 15 |
| 2.5. Modelo de un grado de libertad, con amortiguamiento hysterético | 16 |
| 2.6. Receptancia real e imaginaria contra ω , variando μ | 16 |
| 2.7. Nomograma propuesto por Bishop y Johnson | 18 |
| | |
| 3.1.4.1.1. Sistema coordinado | 27 |
| 3.2.1. Placa rectangular simplemente apoyada | 30 |
| 3.2.2. Configuración modal | 30 |
| 3.2.3. Sistema de carga para una placa simplemente apoyada | 31 |
| 3.3.1. Gráfica esfuerzo-deformación sometido a pruebas cíclicas en .. tensión | 32 |
| 3.3.2. Triángulo de relación de η y ϕ | 34 |
| 3.3.3. Lazo hysterético | 35 |
| | |
| 4.1.1.2. Desplazamiento dinámico de placas de acero de 3 distintos espesores, todas con dimensiones de 52 x 16.5 y con $\eta=0.00$ | 47 |
| 4.1.1.3. Desplazamiento dinámico de placas de acero de 3 distintos espesores, todas con dimensiones de 52 x 16.5 y con $\eta=0.001$ | 47 |
| 4.1.1.4. Desplazamiento dinámico de placas de acero de 3 distintos espesores, todas con dimensiones de 52 x 16.5 y con $\eta=0.010$ | 48 |
| 4.1.1.5. Desplazamiento dinámico de placas de acero de 3 distintos espesores, todas con dimensiones de 52 x 16.5 y con $\eta=0.020$ | 48 |
| 4.1.1.6. Desplazamiento dinámico de placas de acero de 3 distintos espesores, todas con dimensiones de 26 x 16.5 y con $\eta=0.00$ | 51 |
| 4.1.1.7. Desplazamiento dinámico de placas de acero de 3 distintos espesores, todas con dimensiones de 26 x 16.5 y con $\eta=0.001$ | 51 |

| | |
|---|----|
| 4.1.1.8. Desplazamiento dinámico de placas de acero de 3 distintos espesores, todas con dimensiones de 26 x 16.5 y con $\eta=0.010$ | 52 |
| 4.1.1.9. Desplazamiento dinámico de placas de acero de 3 distintos espesores, todas con dimensiones de 26 x 16.5 y con $\eta=0.020$ | 52 |
| 4.1.1.10. Nomograma de diseño con amortiguamiento hysterético | 58 |
| 4.1.1.15. Elementos B y η | 59 |
| 1.A. Energía disipada en el tiempo para dos placas | 67 |

INDICE DE TABLAS.

| Tabla. | página. |
|---|---------|
| 4.1.1.1. Dimensiones de las placas de prueba | 43 |
| 4.1.1.2. Desplazamiento dinámico de placas de acero de 3 distintos espesores, todas con dimensiones de 52 x 16.5 y con $\eta=0.00$ | 45 |
| 4.1.1.3. Desplazamiento dinámico de placas de acero de 3 distintos espesores, todas con dimensiones de 52 x 16.5 y con $\eta=0.001$ | 45 |
| 4.1.1.4. Desplazamiento dinámico de placas de acero de 3 distintos espesores, todas con dimensiones de 52 x 16.5 y con $\eta=0.010$ | 46 |
| 4.1.1.5. Desplazamiento dinámico de placas de acero de 3 distintos espesores, todas con dimensiones de 52 x 16.5 y con $\eta=0.020$ | 46 |
| 4.1.1.6. Desplazamiento dinámico de placas de acero de 3 distintos espesores, todas con dimensiones de 26 x 16.5 y con $\eta=0.00$ | 49 |
| 4.1.1.7. Desplazamiento dinámico de placas de acero de 3 distintos espesores, todas con dimensiones de 26 x 16.5 y con $\eta=0.001$ | 49 |
| 4.1.1.8. Desplazamiento dinámico de placas de acero de 3 distintos espesores, todas con dimensiones de 26 x 16.5 y con $\eta=0.010$ | 50 |
| 4.1.1.9. Desplazamiento dinámico de placas de acero de 3 distintos espesores, todas con dimensiones de 26 x 16.5 y con $\eta=0.020$ | 50 |
| 4.1.1.10. Frecuencias naturales de las placas de prueba | 44 |
| 4.1.1.11. Desplazamientos máximos de las placas de 52 x 16.5 para 3 distintos espesores y 4 amortiguamientos diferentes | 53 |
| 4.1.1.12. Desplazamientos máximos de las placas de 26 x 16.5 para 3 distintos espesores y 4 amortiguamientos diferentes | 53 |
| 4.1.1.13. Dimensiones, frecuencia natural más baja y relaciones para un grupo de placas | 54 |
| 4.1.1.14. Dimensiones, frecuencia natural más baja y relaciones para un grupo de placas | 55 |
| 4.1.1.15. Elementos b y η | 59 |
| 1A. Energía disipada en el tiempo para dos placas | 66 |

Capítulo I.

1. Introducción.

1.1. Consideraciones Generales.

Un caso particular de gran interés en el análisis de vibración forzada de medios continuos se presenta en el estudio del modelo de placas rectangulares simplemente apoyadas en sus cuatro bordes, amortiguadas histeréticamente y excitadas por cargas puntuales armónicas. Este estudio tratará, al ser concluido, de hacer una comparación con un trabajo similar de placas con amortiguamiento viscoso^[1].

El estudio del amortiguamiento interno (estructural) o histerético, nos remonta al año de 1784, en el cual dicho amortiguamiento fue investigado por primera vez por C.A. Coulomb^[2], quién usando un péndulo torsional, demostró experimentalmente que dicho amortiguamiento era causado por un mecanismo micro-estructural y no exclusivamente por la fricción del aire, como se suponía regularmente. Además Coulomb demostró que el amortiguamiento era una función de la amplitud de la vibración.

En 1960, en el trabajo que presentan R.D. Bishop y D.C. Johnson^[3] parten de un modelo con amortiguamiento histerético en el cual se ocupa una rigidez compleja, aplicándole una fuerza de excitación armónica; para 1972 William T. Thomson^[4] trabaja por su parte un modelo con amortiguamiento de tipo histerético, con base en una rigidez compleja. Thomson demuestra además la eficacia de este modelo para medir la pérdida de energía disipada por ciclo de un amortiguador y hace una comparación con un modelo con amortiguamiento viscoso.

Posteriormente, otros autores que tratan sobre vibración forzada, escuetamente mencionan en sus libros al amortiguamiento histerético, como es el caso de Ray W. Clough y Joseph Penzien^[5].

En 1960, A.W. Leissa y K.M. Iyer^[6] aplican el amortiguamiento histerético para el caso de cascarones, usando ahora no una rigidez, sino un Módulo de Young Complejo, donde se incluyó el Factor de pérdidas (η).

En 1981, Werner Soedel^[2] trata un modelo de expansión modal para el amortiguamiento hysterético, aplicado a sistemas continuos, y en donde también se ocupa un *Módulo Complejo*, $E^* = E(1 + i\eta)$, el cual se considera una muy buena aproximación al caso real de este amortiguamiento.

En dicho trabajo se planteó un modelo, el cual, sólo quedó establecido teóricamente, sin llegar a ningún resultado práctico.

1.2. Objetivos.

Se desarrollará de manera sencilla un modelo matemático que represente una placa amortiguada hysteréticamente, y excitada por una carga puntual armónica. La respuesta dinámica se determinará utilizando el enfoque clásico de análisis por expansión modal, ocupando funciones coordenadas. El objetivo principal es determinar una *Ley General* para la respuesta dinámica de una placa simplemente apoyada, bajo las condiciones antes mencionadas. A partir de esto se pretende hacer una comparación con un caso similar de vibración forzada de placas rectangulares con amortiguamiento viscoso.

1.3. Conceptos.

Placa^[9]. Es una lámina de material elástico en dos dimensiones, la cual se halla en un plano. Las placas tienen rigidez a la flexión D , que es

$$D = \frac{E h^3}{12(1 - \nu^2)}$$

la cual es el resultado de su espesor h y de la elasticidad del material de la placa E y ν . Durante la vibración transversal, las placas se deforman inicialmente por flexión perpendicular a su propio plano. Ejemplos comunes de placas son las ventanas, los muros, las tarjetas de computadora, etc.

Grados de libertad^[4]. Es el número de coordenadas independientes que se requieren para describir el movimiento o configuración de un sistema. La configuración se define como la localización geométrica de todas las masas del sistema.

Vibraciones^[7]. Los movimientos que se presentan en un sistema elástico por la presencia de fuerzas excitadoras.

Período T^[7]. Al tiempo T se le nombra período de la vibración, el cual se define también como

$$T = \frac{2\pi}{\omega}$$

Donde ω es la frecuencia excitadora.

Vibración libre^[4]. Se produce cuando un sistema oscila bajo la acción de fuerzas de inercia y elásticas que son inherentes al mismo y, cuando las fuerzas externamente aplicadas son inexistentes. Las vibraciones libres describen el comportamiento natural de los modos de vibración de un sistema.

Vibración forzada^[4]. Es la vibración producida por la excitación provocada por fuerzas externas al sistema. Cuando la excitación es oscilatoria, el sistema es obligado a vibrar a la frecuencia de excitación.

Resonancia^[4]. Ocurre cuando la frecuencia de excitación coincide con alguna frecuencia natural, produciéndose oscilaciones peligrosamente grandes. Para un sistema no amortiguado se incrementarán sin límite, pero para uno amortiguado, la entrada de energía se disipa con el amortiguador; por lo tanto, la amplitud de la vibración en resonancia para sistemas con amortiguamiento es finita y está determinada por la magnitud del amortiguamiento en el sistema.

Frecuencia natural^[9]. Llamada también Eigenvalor; Son las frecuencias a las cuales una estructura elástica lineal tiende a vibrar en sus modos naturales. Una estructura puede tener muchos frecuencias naturales. La más baja de estas es llamada la frecuencia natural fundamental. Cada frecuencia natural esta asociada con una forma modal de deformación. La frecuencia natural puede ser definida en términos de ciclos por segundo (hertz) o en radianes por

segundo (rad/seg).

Elementos de un sistema vibratorio^[8]. Los elementos de un sistema vibratorio son idealizados por medio de una masa m , una rigidez k (constante de un resorte), el amortiguamiento η y finalmente con una fuerza de excitación $F(t)$, que es la que proporciona la energía que entra al sistema.

Amortiguamiento^{[3] y [6]}. Características del amortiguamiento. Todos los sistemas estructurales dinámicos tienen amortiguamiento en algún grado. El amortiguamiento será de gran importancia si existe un estado continuo de vibración. De hecho, si se proporciona suficiente amortiguamiento, la vibración se elimina completamente. El amortiguamiento se presenta de diversas formas: Pérdida de energía asociada con deslizamiento de conexiones estructurales entre miembros o entre la estructura y los soportes, en algunos casos el amortiguamiento puede deberse a la resistencia al movimiento producido por el aire u otros fluidos alrededor de la estructura. El efecto de amortiguamiento es de oposición al movimiento producido por la fuerza y por lo tanto, la amplitud de la respuesta decrece.

Amortiguamiento histerético^[3]. Para propósitos del análisis realizado, el amortiguamiento estructural se supone de tipo histerético; es decir, la fuerza de amortiguamiento es opuesta e inversamente proporcional con la frecuencia de excitación ω , la cual se denota como sigue

$$\text{Fuerza de amortiguamiento} = - \frac{h}{\omega} \dot{x}$$

donde \dot{x} es la velocidad de la masa, h es el coeficiente de amortiguamiento histerético constante, y ω es la frecuencia de excitación de la fuerza. El signo (-) indica que la fuerza es siempre opuesta a la dirección del movimiento.

Módulo de Elasticidad^[9]. Llamado módulo de Young; es la relación del cambio de esfuerzos normales entre las deformaciones dadas para un material. El módulo de elasticidad tiene unidades de presión.

Para algunos materiales, con límites de elasticidad lineal, el módulo es independiente del signo de los esfuerzos aplicados.

Función Coordenada. Es la representación de las formas modales o modos de vibrar de un sistema dado. Cuya característica principal para este modelo es la ortogonalidad entre las funciones coordenadas, que representan los eigenvectores.

Capítulo II.

2.Revisión Literaria.

El estudio de vibración forzada en medios continuos tomando en cuenta el amortiguamiento estructural (o amortiguamiento histerético mejor conocido), es de importancia práctica en la ingeniería civil, ya que todos los materiales tienen en cierto grado una cantidad de amortiguamiento.

Como se mencionó el estudio de este tipo de amortiguamiento se remonta al año de 1784, del cual se realizó una amplia investigación. Sin embargo en 1960 Bishop y Johnson trataron este tipo de amortiguamiento histerético, introduciéndolo en modelos de vibración forzada^[3], que sólo proporcionaban información cualitativa a cerca de los efectos del amortiguamiento.

Las ecuaciones de movimiento para este modelo propuesto por Bishop y Johnson también siguen una ley lineal y además consideran los diferentes movimientos que pueden ocurrir simultáneamente durante la interacción de los modos y por supuesto consideraron una excitación armónica, sabiendo así de antemano que la respuesta será armónica.

Comienzan su estudio realizando una comparación entre los amortiguamientos viscoso e histerético, ocupando para ello un modelo de un grado de libertad.

Para el caso viscoso se tiene una fuerza f , la cual se denota así (ver figura 2.1.(a))

$$f = k x + b \dot{x} \quad (2.1.)$$

Donde k es la constante del resorte y b es el coeficiente de amortiguamiento de tipo viscoso. La extensión del resorte tendrá una variación como sigue

$$x = R \sin \omega t \quad (2.2.)$$

Entonces la fuerza f resulta

$$f = k R \sin \omega t + b R \omega \cos \omega t \quad (2.3.)$$

Estas expresiones de x y f respectivamente están en función del tiempo t el cual puede ser eliminado, quedando f como función de x , como sigue

$$f = k x \pm b \omega \sqrt{(R^2 - x^2)} \quad (2.4.)$$

De donde al graficar la expresión (2.4.) nos resulta la figura 2.2., que nos representa un lazo cerrado, el cual tiene una distorsión, y de la cual podemos medir la energía disipada por el amortiguador viscoso, con la siguiente expresión

$$E = \int_0^{2\pi} f dx = \int_0^{2\pi} \left[k R \sin \omega t + b R \omega \cos \omega t \right] R \omega \cos \omega t dt \quad (2.5.)$$

La integral nos da

$$E = b R^2 \omega \pi \quad (2.6.)$$

De la expresión podemos ver que la energía disipada por el amortiguador en un ciclo, depende directamente de la frecuencia de excitación, y cuyo valor tiende a cero cuando la frecuencia así lo hace, lo que resulta ser algo falso, porque si hay una pérdida de energía por ciclo en el resorte, debida a la imperfección elástica del material, con lo cual se ve que debe haber una ligera independencia con la frecuencia.

Para conseguir un modelo en el que si se presente independencia con la frecuencia, se da un coeficiente de amortiguamiento que es inversamente proporcional a la frecuencia ω , esto igual a $-h\dot{x}/\omega$, donde h es una constante.

El amortiguamiento que presenta estas características es el llamado amortiguador histerético, el cual se ilustra en la figura 2.1.(b). Ahora la energía disipada por el amortiguador en un ciclo se da por

$$E = h R^2 \pi$$

(2.7.)

De esta expresión se puede observar la independencia total de la frecuencia, para este modelo con amortiguamiento histerético.

Para este segundo caso, se toma un comportamiento armónico, y de la relación fuerza-desplazamiento, se introduce la rigidez compleja como sigue

$$K = k + i h$$

(2.8.)

que va a representar un sistema amortiguado histeréticamente, dando una fuerza

$$f = K x$$

(2.9.)

en donde

$$f = (k + ih) x$$

(2.10.)

introduciendo al término adimensional $\mu = h/k$, que es una medida adimensional del amortiguamiento histerético nos queda

$$f = k (1 + i\mu) x$$

(2.11.)

Para este caso y como un siguiente paso se eliminó la acción del resorte, con lo cual resulta una curva de f contra x como la ilustrada en la figura 2.3., que es una elipse cuya ecuación es

$$\frac{x^2}{R^2} + \frac{f^2}{h^2 R^2} = 1$$

(2.12.)

De la cual la energía disipada por el amortiguador será $E = h R^2 \pi$ que es como el de la ecuación (2.7.), pero la diferencia es que ahora la figura no tiene su eje inclinado, lo cual es debido a la distorsión de cortante provocado por el resorte.

Con un procedimiento análogo al del primer caso, obtenemos una expresión de la fuerza f en función de x , eliminando al tiempo t

$$f = kx \pm h \sqrt{(R^2 - x^2)} \quad (2.13.)$$

la cual se ilustra en la figura 2.4., que es similar a la 2.2.. Por estas razones para calcular la energía disipada debida a la imperfección elástica, es mejor emplear un modelo histerético.

Tomando lo anterior como base de la teoría de amortiguamiento histerético, se parte de un modelo de un grado de libertad, como el de la figura 2.5., del cual la ecuación que gobierna el desplazamiento x de la masa "M" es

$$M \ddot{x} + \frac{h}{\omega} \dot{x} + kx = F e^{i\omega t} \quad (2.14.)$$

La solución a esta ecuación, considerando un movimiento armónico simple es

$$x = X e^{i\omega t} \quad (2.15.)$$

$$x = \alpha F e^{i\omega t} \quad (2.16.)$$

Lo que nos conduce a

$$\left[-M\omega^2 + (k + ih) \right] X e^{i\omega t} = F e^{i\omega t} \quad (2.17.)$$

De esta ecuación (2.17.) se obtiene la receptancia^[3] α que es

$$\alpha = \left[\frac{k - M\omega^2}{(k - M\omega^2)^2 + h^2} \right] - i \left[\frac{h}{(k - M\omega^2)^2 + h^2} \right] \quad (2.18.)$$

De donde el ángulo de fase η esta dado por

$$\text{Tan } \eta = \frac{h}{k - M \omega^2} \quad (2.19.)$$

La expresión (2.18) se ilustra en la figura 2.6. para el caso particular de un sistema de masa unitaria, una rigidez de 8 y valores de μ de 0.02, 0.2, y 0.6, en donde a) y b) ilustran la parte real y la imaginaria contra ω , en c) se muestra la parte real e imaginaria en un diagrama de Argand y finalmente en d) se muestra de manera tridimensional.

Introduciendo a la expresión (2.16.) un factor de amplificación adimensional "n" lo que resulta conveniente, y queda

$$x = n \left(\frac{F}{k} \right) e^{i(\omega t - \eta)} \quad (2.20.)$$

donde

$$n = \frac{1}{\sqrt{\left[\left(1 - \frac{\omega^2}{\omega_1^2} \right)^2 + \mu^2 \right]}} \quad (2.21.)$$

además de la ecuación (2.19.), la cual se reescribe así

$$\text{Tan } \eta = \frac{\mu}{1 - \frac{\omega^2}{\omega_1^2}} \quad (2.22.)$$

De la ec. (2.21.) se ve que n da la resonancia cuando ω / ω_1 es igual 1 y μ es igual a cero, y de la ec. (2.22.) η tiende al valor de $\text{Tan}^{-1} \mu$ cuando ω / ω_1 tiende a cero, a diferencia del caso viscoso que cuando ω / ω_1 tiende a cero el valor de η tiende también a cero.

Con lo anterior se define el factor Q como un múltiplo de la relación

de la energía almacenada en resonancia con la energía disipada en un ciclo, esto es

$$Q = \frac{k}{h} = \frac{1}{\mu} \quad (2.23.)$$

Tomando como base este factor de amplificación en resonancia, se define la amplitud de resonancia R_{res} así

$$R_{res} = Q \frac{F}{k} \quad (2.24.)$$

Ahora, introduciendo en la ecuación (2.19.) el factor Q nos queda

$$\text{Cot } \eta = Q \left[1 - \frac{\omega^2}{\omega_1^2} \right] \quad (2.25.)$$

Teniendo esta teoría desarrollada para amortiguamiento histerético pero para un modelo de un grado de libertad, Bishop y Johnson elaboraron un nomograma (ver figura 2.7.) que demostraba la proporcionalidad inversa de la respuesta con el amortiguamiento histerético.

Posteriormente por 1975 Penzien y Clough^[5], nos hablan del amortiguamiento histerético de manera muy reducida, de que el modelo con amortiguamiento histerético es una manera muy buena para medir la energía disipada en un ciclo de carga para un sistema de un grado de libertad. Sus resultados experimentales demostraban que el modelo con amortiguamiento histerético presentaba independencia con respecto a la frecuencia, con lo cual realizó una comparación entre un modelo con amortiguamiento viscoso y otro con amortiguamiento histerético. Para el primero encontró una relación de amortiguamiento viscoso que es

$$\zeta = \frac{C}{C_c} \quad (2.26.)$$

de la cual se veía la dependencia con la frecuencia, y para el segundo caso, del amortiguamiento histerético estaba definido como una fuerza de

amortiguamiento en términos de la velocidad pero proporcional a los desplazamientos, la cual es

$$f_D = \zeta k |v| \frac{\dot{v}}{|\dot{v}|} \quad (2.27.)$$

de donde ζ es el coeficiente de amortiguamiento histerético, el cual define las fuerzas de amortiguamiento como una fracción elástica de la fuerza de rigidez, además se nota su independencia con la frecuencia.

Por el año de 1980 en un artículo elaborado por A.W. Leissa y K.M. Iyer se presenta un modelo de vibración forzada tomando un amortiguamiento de tipo estructural (histerético), aplicado a cascarones, en el cual ellos introducen en las ecuaciones de movimiento un módulo complejo $E^* = (1+i\eta)$, en donde $i = \sqrt{-1}$, y es η el llamado factor de pérdidas.

Ocupan un rango de valores para el factor de pérdidas que va de 0.001 a 0.1, que cubren a varios tipos de materiales, como el acero, aluminio, etc.

Dentro de los resultados arrojados por este trabajo, está el que en los espectros de respuesta presentados, los picos se presentaban para las frecuencias de resonancia, y el más alto se daba cuando coincidía con la frecuencia natural más baja del sistema, y de sus resultados se nota que la respuesta tenía una proporcionalidad inversa al valor del factor de pérdidas.

Finalmente en el trabajo presentado en 1981 por Werner Soedel en el cual se emplea un modelo llamado de representación espectral o expansión modal como es mejor conocido, dicho autor parte del hecho de conocer los eigenvalores (frecuencias naturales), con lo que se llega a una solución casi exacta.

Soedel emplea su modelo para el caso de amortiguamiento histerético, primero partiendo de un espécimen sometido a tensión cíclica, obteniendo con ello un lazo histerético, en el que si dividimos la fuerza entre la

sección transversal del espécimen y el desplazamiento por la longitud del espécimen, se obtiene una gráfica de esfuerzo-deformación de forma elíptica, de la cual el área nos representa la energía disipada por ciclo y volumen.

Esta forma inicial no fue muy aceptada, pero fue la base, para aplicar el módulo complejo $E^* = E (1 + i\eta)$ a las ecuaciones de movimiento del modelo presentado en esta tesis, en la que la respuesta transitoria no será considerada pues tenemos el caso de una fuerza excitadora armónica, para la cual la respuesta establecida es más importante.

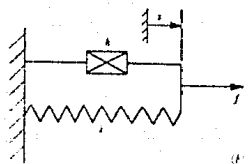
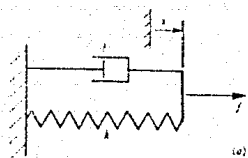


Figura 2.1.

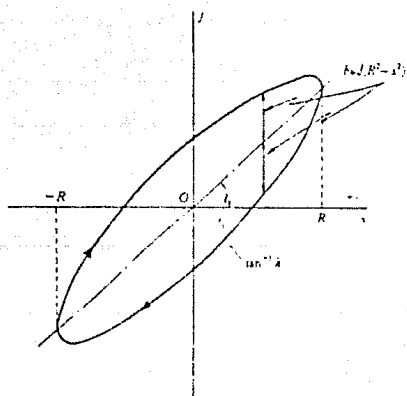


Figura 2.2.

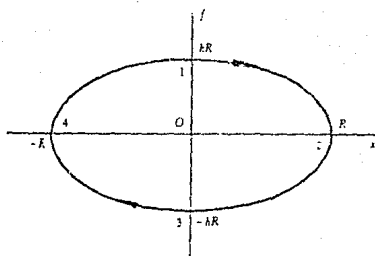


Figura 2.3.

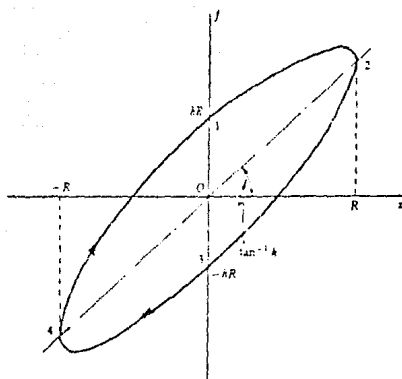


Figura 2.4.

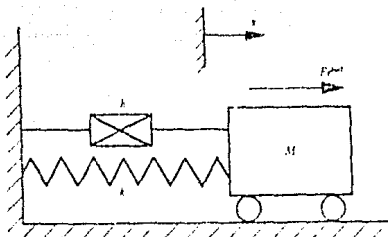


Figura 2.5

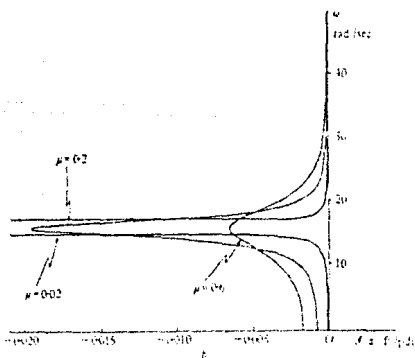
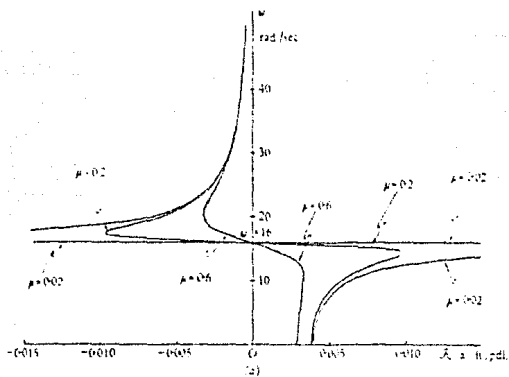
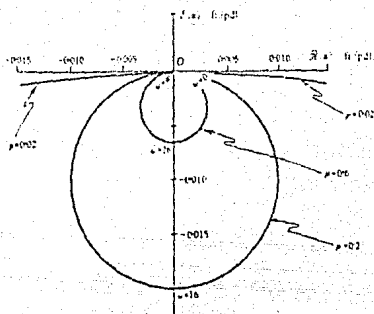
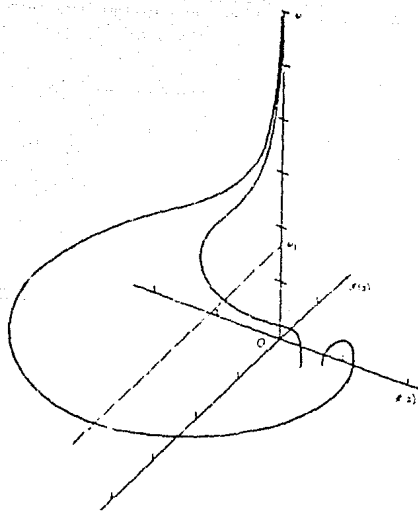


Figura 2.6 a) y b)



c)



d)

Figura 2.6.c) y d)

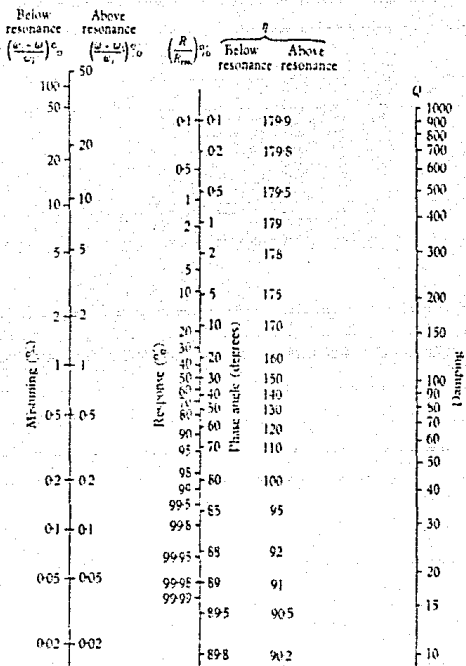


Figura 2.7.

Capítulo III.

3. Modelo Matemático.

En este capítulo se presenta el método de operadores con expansión modal aplicado a la vibración forzada de placas y en general de medios continuos. El método se simplifica manejando algunas expresiones del Análisis de Fourier para lo cual se supone que existen las llamadas Series de Fourier Generalizadas con cualquier condición de frontera. Con base en este método se obtiene un modelo matemático que representa entre otros problemas, el de una placa simplemente apoyada en sus bordes, amortiguada histeréticamente y excitada por una carga puntual armónica. Una vez planteado y resuelto dicho problema, nos enfocaremos a determinar la ley que gobierna el problema de placas, para verificar que sea una serie de rectas como en el caso del amortiguamiento viscoso equivalente.¹¹

3.1 Vibración Forzada en Medios Continuos.

Reviste gran interés para la ingeniería el estudio de la vibración forzada en medios continuos; conociendo los eigenvalores y los eigenvectores es posible obtener la solución a problemas de vibración forzada en términos de dichos elementos. Este enfoque es conocido como representación espectral o expansión modal y data del trabajo de Bernoulli en 1747 que fué probado por L. Euler en 1753.

Las fuerzas se suponen independientes del movimiento del medio continuo y es por lo tanto aplicable a sistemas conservativos, esta representa una aproximación aceptable para la gran mayoría de los casos de vibración de medios continuos en ingeniería.

3.1.1. El Factor de Participación Modal.

Una fuerza excitará varios de los modos naturales de un sistema continuo en diferentes cantidades. La magnitud de participación de cada modo en la respuesta dinámica total es definida por el factor de participación modal. Este factor puede resultar nulo para ciertos modos y

puede llegar a ser grande para otros, dependiendo de la naturaleza de la excitación.

En un sentido matemático, los modos naturales del sistema continuo representan vectores y de manera más general funciones ortogonales o al menos, linealmente independientes que satisfacen las condiciones de frontera de un sistema; este espacio funcional puede ser usado para representar la respuesta de la estructura. En los casos de sistemas con un número finito de grados de libertad, el espacio funcional es de dimensión finita y el número de vectores o modos naturales es igual al número de grados de libertad. Para sistemas continuos, tales como placas, el número de grados de libertad es infinito. Esto significa que para el problema de equilibrio de sistemas continuos, tridimensionales, la solución general para los desplazamientos será una serie infinita de la forma siguiente :

$$u_1(\alpha_1, \alpha_2, t) = \sum_{n=1}^{\infty} \eta_n(t) U_{1n}(\alpha_1, \alpha_2) \quad (3.1.1.1.)$$

en donde $i = 1, 2, 3$. Las variables U_{1n} son las componentes modales naturales en las tres direcciones principales. Los factores de participación modal η_n son desconocidos y se determinarán de la manera siguiente.

Las ecuaciones de movimiento son de la forma que sigue, para el caso de amortiguamiento histerético con carga puntual armónica :

$$(1 + j\eta)L_1(u_1, u_2, u_3) - \rho h u_1 = - q_1^* e^{j\omega t} \quad (3.1.1.2.)$$

La ec.(3.1.1.2.) representa el modelo histerético, que es sólo la ecuación de movimiento, a la cual se le introduce el módulo complejo.

En donde $L_1(u_1, u_2, u_3)$ representa los diversos operadores diferenciales, $E(1 + j\eta)$ es el módulo complejo y sustituye al módulo de Young E , de ahí η sin subíndice es el llamado factor de pérdidas histerético, el cual se considerará igual en las tres direcciones principales; lo que no es necesariamente cierto. Debido a que los valores de amortiguamiento son difíciles de obtener teóricamente y en vista de que se tendrá un mayor valor cualitativo que cuantitativo, (además de que

ofrece ventajas en el cálculo) se decidió adoptarlo como uniforme, sin embargo este amortiguamiento en particular, según Soedel tiene una variación tanto con la frecuencia como con la amplitud de las deformaciones.

El término general de fuerza de la ec.(3.1.1.2.) está ahora restringido a excitación armónica, con q_1^* representando la distribución de la carga de presión.

Ahora, sustituyendo la ec.(3.1.1.1.) en la ec.(3.1.1.2.) da

$$\sum_{k=1}^{\infty} [(1 + j\eta) \eta_k L_1(U_{1k}, U_{2k}, U_{3k}) - \rho h \ddot{\eta}_k U_{1k}] = - q_1^* e^{j\omega t} \quad (3.1.1.3.)$$

Del análisis de valores característicos, donde $\eta = 0$ y $q_1 = 0$, se obtiene la identidad

$$L_1(U_{1k}, U_{2k}, U_{3k}) = - \rho h \omega_k^2 U_{1k} \quad (3.1.1.4.)$$

Al sustituir la ec.(3.1.1.4.) en la ec.(3.1.1.3.) obtenemos

$$\sum_{k=1}^{\infty} [\rho h \ddot{\eta}_k + \rho h (1 + j\eta) \omega_k^2 \eta_k] U_{1k} = q_1^* e^{j\omega t} \quad (3.1.1.5.)$$

Aprovechando la ortogonalidad de los modos naturales U_{1k} , procedemos a multiplicar ambos miembros de la ec.(3.1.1.5.) por un modo U_{1p} , como en un análisis de Fourier, donde p puede ser igual a k o diferente y se obtiene

$$\sum_{k=1}^{\infty} [\rho h \ddot{\eta}_k + \rho h (1 + j\eta) \omega_k^2 \eta_k] U_{1k} U_{1p} = q_1^* U_{1p} e^{j\omega t} \quad (3.1.1.6.)$$

La cual en forma expandida se puede escribir como se muestra a continuación :

$$\sum_{k=1}^{\infty} [\rho h \ddot{\eta}_k + \rho h (1 + j\eta) \omega_k^2 \eta_k] U_{1k} U_{1p} = q_1^* U_{1p} e^{j\omega t} \quad (3.1.1.7.)$$

$$\sum_{k=1}^{\infty} \{ \rho h \ddot{\eta}_k + \rho h (1 + j\eta) \omega_k^2 \eta_k \} U_{2k} U_{2p} = q_2^* U_{2p} e^{j\omega t} \quad (3.1.1.8.)$$

$$\sum_{k=1}^{\infty} \{ \rho h \ddot{\eta}_k + \rho h (1 + j\eta) \omega_k^2 \eta_k \} U_{3k} U_{3p} = q_3^* U_{3p} e^{j\omega t} \quad (3.1.1.9.)$$

Sumando las ecuaciones (3.1.1.7.) a (3.1.1.9.) e integrando sobre la superficie del medio continuo y a lo largo de las coordenadas α_1 y α_2 , nos quedará la siguiente expresión :

$$\begin{aligned} \sum_{k=1}^{\infty} \{ \rho h \ddot{\eta}_k + \rho h (1 + j\eta) \omega_k^2 \eta_k \} \int_{\alpha_2} \int_{\alpha_1} \{ U_{1k} U_{1p} + U_{2k} U_{2p} + U_{3k} U_{3p} \} A_1 A_2 d\alpha_1 d\alpha_2 = \\ = \int_{\alpha_2} \int_{\alpha_1} \{ q_1^* U_{1p} + q_2^* U_{2p} + q_3^* U_{3p} \} A_1 A_2 d\alpha_1 d\alpha_2 \end{aligned} \quad (3.1.1.10.)$$

Utilizando las ecuaciones de ortogonalidad, definidas por las siguientes ecuaciones⁽²⁾:

$$\int_{\alpha_2} \int_{\alpha_1} \{ U_{1k} U_{1p} + U_{2k} U_{2p} + U_{3k} U_{3p} \} A_1 A_2 d\alpha_1 d\alpha_2 = \delta_{kp} N_k \quad (3.1.1.11.)$$

en donde

$$\delta_{kp} = \begin{cases} 1 & \text{si } p = k \\ 0 & \text{si } p \neq k \end{cases} \quad (3.1.1.12.)$$

Con esto es posible suprimir la sumatoria ya que todos los términos se eliminan, exceptuando los términos en los cuales $p=k$, con lo cual la expresión queda reducida a lo siguiente :

$$\ddot{\eta}_k + (1 + \eta) \omega_k^2 \eta_k = F_k^* e^{j\omega t} \quad (3.1.1.13.)$$

de donde

$$F_k^* = \frac{1}{\rho h N_k} \int_{\alpha_2} \int_{\alpha_1} [q_1^* U_{1k} + q_2^* U_{2k} + q_3^* U_{3k}] \lambda_1 \lambda_2 d\alpha_1 d\alpha_2 \quad (3.1.1.14.)$$

y

$$N_k = \int_{\alpha_2} \int_{\alpha_1} [U_{1k}^2 + U_{2k}^2 + U_{3k}^2] \lambda_1 \lambda_2 d\alpha_1 d\alpha_2 \quad (3.1.1.15.)$$

De este modo, si tomamos k términos de las series de expansión modal como aproximación a un número infinito, se tendrá la solución de la ecuación, definiendo el factor de participación modal para k funciones de participación. Las funciones de fuerza q_1^* , q_2^* , y q_3^* han sido dadas y las componentes modales U_{1k} , U_{2k} , y U_{3k} y las frecuencias naturales ω_k tienen que ser conocidas. Además la densidad de masa por unidad de superficie del sistema continuo ρh es obviamente conocida también y el factor de pérdidas η debe ser dado o estimado.

3.1.2. Condiciones Iniciales

Para obtener la solución completa de la ec. (3.1.1.13.), se requieren dos condiciones iniciales para cada factor de participación modal. Estas son el desplazamiento inicial $u_i(\alpha_1, \alpha_2, 0)$ y la velocidad inicial $\dot{u}_i(\alpha_1, \alpha_2, 0)$, que se deben especificar para todos los puntos del sistema continuo. En gran cantidad de casos prácticos las condiciones iniciales son cero, excepto para los problemas en donde ocurren cambios periódicos de condiciones de frontera.

Cuando se requiere determinar la solución establecida, por ser ésta de mayor importancia que la transitoria, las condiciones iniciales se pueden tomar iguales a cero.

La ec.(3.1.1.1.), puede escribirse así, para las condiciones de frontera

$$u_1(\alpha_1, \alpha_2, 0) = \sum_{k=1}^{\infty} \eta_k(0) U_{1k}(\alpha_1, \alpha_2) \quad (3.1.2.1.)$$

$$\dot{u}_1(\alpha_1, \alpha_2, 0) = \sum_{k=1}^{\infty} \dot{\eta}_k(0) U_{1k}(\alpha_1, \alpha_2) \quad (3.1.2.2.)$$

Estas ecuaciones son resueltas para $\eta_k(0)$ y $\dot{\eta}_k(0)$, y para el instante $t=0$. Multiplicando la ec.(3.1.2.1.) por $U_{1p}(\alpha_1, \alpha_2)$, donde $p=k$ o $p \neq k$, se obtiene

$$u_1(\alpha_1, \alpha_2, 0) U_{1p} = \sum_{k=1}^{\infty} \eta_k(0) U_{1k} U_{1p} \quad (3.1.2.3.)$$

En forma expandida, para $i=1, 2$ y 3 , da

$$u_1(\alpha_1, \alpha_2, 0) U_{1p} = \sum_{k=1}^{\infty} \eta_k(0) U_{1k} U_{1p} \quad (3.1.2.4.)$$

$$u_2(\alpha_1, \alpha_2, 0) U_{2p} = \sum_{k=1}^{\infty} \eta_k(0) U_{2k} U_{2p} \quad (3.1.2.5.)$$

$$u_3(\alpha_1, \alpha_2, 0) U_{3p} = \sum_{k=1}^{\infty} \eta_k(0) U_{3k} U_{3p} \quad (3.1.2.6.)$$

Sumando estas ecuaciones e integrando sobre la superficie del sistema continuo, da

$$\int_{\alpha_2} \int_{\alpha_1} [u_1(\alpha_1, \alpha_2, 0) U_{1p} + u_2(\alpha_1, \alpha_2, 0) U_{2p} + u_3(\alpha_1, \alpha_2, 0) U_{3p}] \lambda_1 \lambda_2 d\alpha_1 d\alpha_2 =$$

$$\sum_{k=1}^{\infty} \eta_k(0) \int_{\alpha_2} \int_{\alpha_1} [U_{1k} U_{1p} + U_{2k} U_{2p} + U_{3k} U_{3p}] \lambda_1 \lambda_2 d\alpha_1 d\alpha_2 \quad (3.1.2.7.)$$

Aplicando las condiciones de ortogonalidad de la ec.(3.1.1.11.), eliminamos la sumatoria del lado derecho de la ecuación que es cero para un p excepto cuando $p=k$. Entonces se obtiene :

$$\eta_k(0) = \frac{1}{N_k} \int_{\alpha_2} \int_{\alpha_1} [u_1(\alpha_1, \alpha_2, 0)U_{1k} + u_2(\alpha_1, \alpha_2, 0)U_{2k} + u_3(\alpha_1, \alpha_2, 0)U_{3k}] \lambda_1 \lambda_2 d\alpha_1 d\alpha_2 \quad (3.1.2.8.)$$

de donde N_k está dada por la ec.(3.1.1.15.).

De forma semejante, se resuelve la ec.(3.1.2.2.) para la segunda condición inicial, y da :

$$\dot{\eta}_k(0) = \frac{1}{N_k} \int_{\alpha_2} \int_{\alpha_1} [\dot{u}_1(\alpha_1, \alpha_2, 0)U_{1k} + \dot{u}_2(\alpha_1, \alpha_2, 0)U_{2k} + \dot{u}_3(\alpha_1, \alpha_2, 0)U_{3k}] \lambda_1 \lambda_2 d\alpha_1 d\alpha_2 \quad (3.1.2.9.)$$

3.1.3.Solución de la Ecuación del Factor de Participación Modal.

La ecuación del factor de participación modal es la ecuación de un oscilador simple. Así, podemos interpretar la vibración forzada del sistema continuo considerando a éste como compuesto de oscilaciones simples, donde cada oscilador consiste en el sistema continuo restringido a vibrar en uno de sus modos naturales. Todas estas oscilaciones responden simultáneamente y la vibración total del sistema continuo, es simplemente el resultado de la adición (superposición) de todas las vibraciones individuales.

3.1.3.1.Respuesta Armónica Establecida.

Un caso muy importante de tipo práctico ocurre cuando la carga sobre el sistema continuo varía armónicamente con el tiempo y cuando la generación de vibraciones transitorias no es de interés, debido a que se eliminan rápidamente.

Para dar la solución podríamos utilizar la integral de convolución, pero para este caso será sólo requerida la ec. (3.1.1.13.), para la cual la respuesta estacionaria será de gran interés, y la respuesta tanto, como la carga, serán armónicas, pero el movimiento estará retrasado un ángulo ϕ_k , denominado ángulo de fase, por lo tanto resultará que

$$\eta_k = A_k e^{j(\omega t - \phi_k)} \quad (3.1.3.1.1.)$$

Sustituyendo en la ec. (3.1.1.13.) nos da

$$A_k e^{-j\phi_k} = \frac{F_k^*}{(\omega_k^2 - \omega^2) + j\eta\omega_k^2} \quad (3.1.3.1.2.)$$

La magnitud de la respuesta A_k es, por lo tanto

$$A_k = \frac{F_k^*}{\omega_k^2 \sqrt{[1 - (\omega/\omega_k)^2]^2 + \eta^2}} \quad (3.1.3.1.3.)$$

El ángulo de fase es

$$\phi_k = \tan^{-1} \frac{\eta}{1 - \left(\frac{\omega}{\omega_{sn}}\right)^2} \quad (3.1.3.1.4.)$$

3.1.4. Sistemas Continuos.

3.1.4.1. Vibración Forzada en Placas.

1.) En el caso especial de una placa, el problema esta representado por las ecs. (3.1.3.1.3.) y (3.1.3.1.4.) pero F_k^* se simplificará para el caso de placas con movimiento transversal dominante como sigue :

$$F_k^* = \frac{1}{\rho h N_k} \int_{\alpha_2} \int_{\alpha_1} Q_2^* U_{3k} \Lambda_1 \Lambda_2 d\alpha_1 d\alpha_2 \quad (3.1.4.1.1.)$$

en donde

$$N_k = \int_{\alpha_2} \int_{\alpha_1} U_{3k}^2 \Lambda_1 \Lambda_2 d\alpha_1 d\alpha_2 \quad (3.1.4.1.2.)$$

II.) La solución para una placa con cargas contenidas en su plano, involucrará la siguiente función F_k^* , de acuerdo a la nomenclatura de la figura 3.1.4.1.1. que a continuación se muestra :

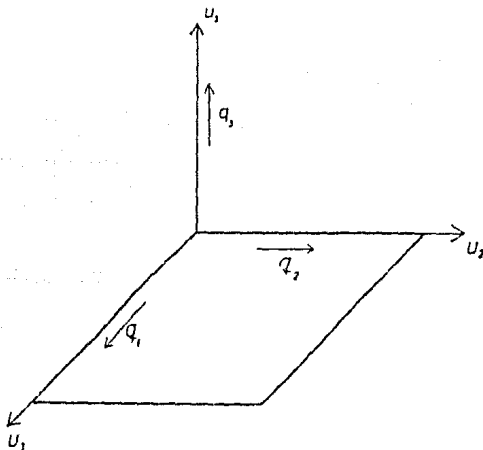


figura 3.1.4.1.1.

$$F_k^* = \frac{1}{\rho h N_k} \int_{\alpha_2} \int_{\alpha_1} [q_1^* U_{1k} + q_2^* U_{2k}] \lambda_1 \lambda_2 d\alpha_1 d\alpha_2 \quad (3.1.4.1.3.)$$

en donde

$$N_k = \int_{\alpha_2} \int_{\alpha_1} [U_{1k}^2 + U_{2k}^2] \lambda_1 \lambda_2 d\alpha_1 d\alpha_2 \quad (3.1.4.1.4.)$$

III.) En el caso especial de un anillo obtenemos igualmente F_k^* como sigue :

$$F_k^* = \frac{1}{\rho h N_k} \int_{\alpha_2} \int_{\alpha_1} [q_1^* U_{1k} + q_2^* U_{2k}] \lambda_1 \lambda_2 d\alpha_1 d\alpha_2 \quad (3.1.4.1.5.)$$

en donde

$$N_k = \int_{\alpha_2} \int_{\alpha_1} [U_{1k}^2 + U_{2k}^2] \lambda_1 \lambda_2 d\alpha_1 d\alpha_2 \quad (3.1.4.1.6.)$$

IV.) Para aproximaciones a un cascarón y placas, cuando los modos transversales son dominantes, las ecs. (3.1.4.1.1.) y (3.1.4.1.2.) se aplican. Esta resulta ser una buena aproximación ya que $|U_{2k}| \gg |U_{1k}|$, $|U_{2k}|$ para modos con movimiento transversal dominante.

3.1.4.2. Vibración Forzada en Vigas.

Para la vibración transversal de una viga

$$F_k^* = \frac{1}{\rho h N_k} \int_{\alpha_2} \int_{\alpha_1} q_2^* U_{2k} \lambda_1 \lambda_2 d\alpha_1 d\alpha_2 \quad (3.1.4.2.1.)$$

en donde

$$N_k = \int_{\alpha_2} \int_{\alpha_1} U_{jk}^2 A_1 A_2 d\alpha_1 d\alpha_2 \quad (3.1.4.2.2.)$$

3.2. Vibraciones Libres en Placas.

3.2.1. Cálculo de Frecuencias Naturales y Funciones Coordenadas en Placas.

A partir de las ecuaciones operacionales de movimiento se obtiene la ecuación de vibraciones libres para placas.

Se tomarán sólo fuerzas de inercia transversales, pues se supone que el desplazamiento transversal es el dominante en el sistema. Se puede demostrar que para un amortiguamiento y fuerzas externas nulas las ecuaciones de movimiento se reducen a la siguiente expresión :

$$\nabla^2 u_z + \frac{\rho h}{D} \frac{\partial^2 u_z}{\partial t^2} = 0 \quad (3.2.1.1.)$$

de donde u_z es la deflexión transversal ó perpendicular al plano de la placa.

Para una placa simplemente apoyada $u_z = u_0(\alpha_1, \alpha_2, 0)$ y $\partial u_z / \partial t = v_0(\alpha_1, \alpha_2, 0)$, siendo u_0 , y v_0 las condiciones iniciales de desplazamiento y velocidad. Por otro lado, de la ecuación (3.2.1.1.), se puede demostrar que las frecuencias naturales de oscilación de placa estan dadas por :

$$\omega_k = \omega_{kn} = n^2 \left[\left(\frac{m}{a} \right)^2 + \left(\frac{n}{b} \right)^2 \right] \sqrt{\frac{D}{\rho h}} \quad (3.2.1.2.)$$

en donde

- $\omega_{m,n}$ -- Es la frecuencia natural del sistema en el modo (m,n) .
 a y b -- Las dimensiones de la placa Figura 3.2.1.
 m y n -- Los números modales a lo largo de los dominios de longitud a y b . Figura 3.2.2.
 D -- Es la rigidez a la flexión para una placa simplemente apoyada.
 ρ -- Densidad del material de la placa por unidad de volumen.
 h -- Espesor de la placa.

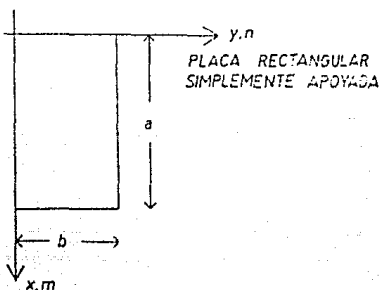
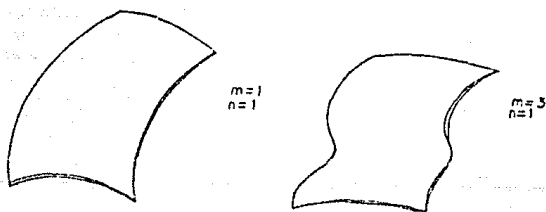


figura 3.2.1.



CONFIGURACION MODAL

figura 3.2.2.

(111)

V.G.Rekarch investigó las oscilaciones propias de una placa rectangular, con sus cuatro laics articulados, figura 3.2.3.. La función coordenada que satisface dichas condiciones de frontera es :

$$U_{mn} = \text{Sen } \frac{m\pi\alpha_1}{a} \cdot \text{Sen } \frac{n\pi\alpha_2}{b} \quad (3.2.1.3.)$$

Cuya forma general es :

$$\phi(\alpha_1, \alpha_2) = A \text{ sen } B\alpha_1 \text{ sen } C\alpha_2 \quad (3.2.1.4.)$$

en donde $B = \frac{m\pi}{a}$ y $C = \frac{n\pi}{b}$

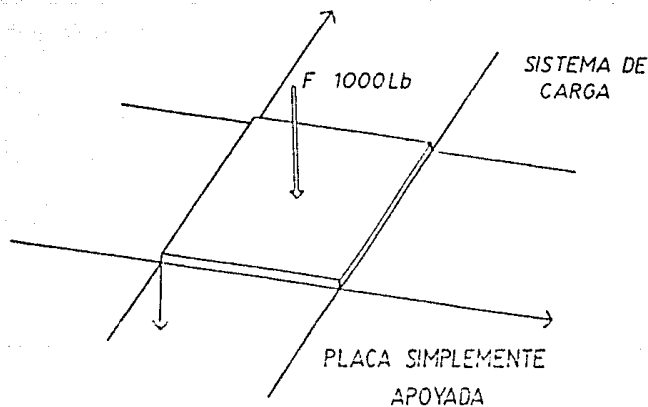


figura 3.2.3.

3.3. Amortiguamiento Histerético.

El amortiguamiento estructural es caracterizado por el hecho de que si tenemos un espécimen sometido a pruebas cíclicas en tensión y en compresión, obtenemos un lazo histerético como el mostrado en la figura 3.3.1., en la cual el área sombreada del lazo es la energía total disipada por ciclo. Si ahora dividimos la fuerza por la sección transversal del espécimen y el desplazamiento por la longitud del espécimen, llegamos a una gráfica de esfuerzo-deformación de este fenómeno en la forma indicada en la figura 3.3.1.. El área es ahora igual a la energía disipada por ciclo y por unidad de volumen.

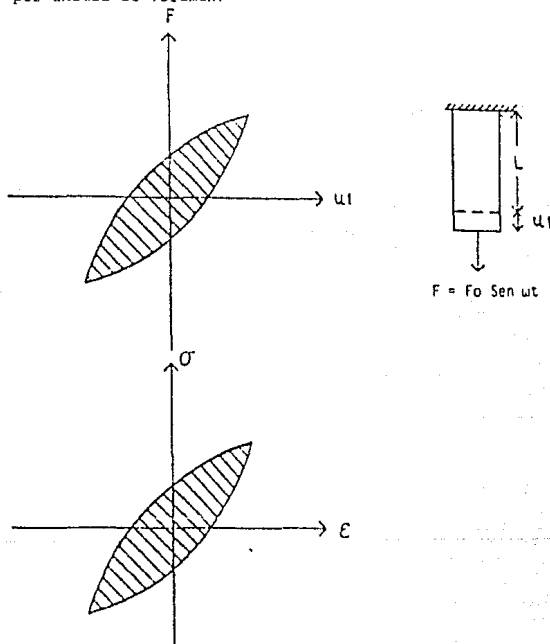


figura 3.3.1.

Desafortunadamente, este camino no es totalmente aceptado, sin embargo es una buena aproximación por medio de la aplicación del llamado módulo complejo que es igual a $E(1+j\eta)$.

Para comenzar tenemos, de la ley de HOOK, lo siguiente

$$\sigma = E\varepsilon \quad (3.3.1.)$$

Ahora para un movimiento armónico

$$\sigma = \sigma_{\max} \text{ sen } \omega t \quad (3.3.2.)$$

en donde

$$\sigma_{\max} = \frac{F_0}{A}$$

y de la cual obtenemos

$$\varepsilon = \frac{\sigma_{\max}}{E} \text{ sen } \omega t \quad (3.3.3.)$$

Ahora graficando σ como una función ε dada, como era de esperarse resulta una recta, y cuando la línea describe una elipse que adquiere amplitud como una semejanza a un lazo histerético, remplazamos el valor E por $E(1+j\eta)$ llamado módulo complejo, donde η es el denominado factor de pérdidas histerético. Ahora sustituimos el módulo complejo en la ec.(3.3.3.), obteniéndose

$$\varepsilon = \frac{\sigma_{\max}}{E(1+j\eta)} \text{ sen } \omega t \quad (3.3.4.)$$

multiplicando por su conjugado

$$\varepsilon = \frac{\sigma_{\max}}{E(1+j\eta)} \text{ sen } \omega t \frac{(1-j\eta)}{(1-j\eta)}$$

$$\varepsilon = \frac{\sigma_{\max}}{E(1+\eta^2)} \text{ sen } \omega t (1-j\eta)$$

Teniendo que $(1+j\eta)(1-j\eta) = \sqrt{1+\eta^2} \sqrt{1+\eta^2}$

$$G = \frac{\sigma_{max}}{E \sqrt{1+\eta^2}} \text{ sen } \omega t \frac{(1-\eta)}{\sqrt{1+\eta^2}} \quad (3.3.5.)$$

$$\phi = \tan^{-1} \eta \quad \text{ó} \quad \eta = \tan \phi$$

De la figura 3.3.2. tenemos :

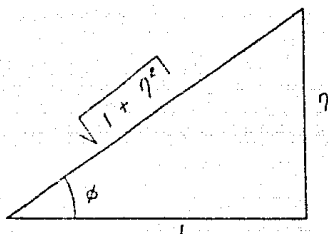


figura 3.3.2.

$$\text{sen } \phi = \frac{\eta}{\sqrt{1+\eta^2}}$$

$$\text{cos } \phi = \frac{1}{\sqrt{1+\eta^2}}$$

Sustituyéndolas en la ec.(3.3.5.)

$$G = \frac{\sigma_{max}}{E \sqrt{1+\eta^2}} (\text{cos } \phi - \eta \text{ sen } \phi) \text{ sen } \omega t$$

de donde, para valores típicos de η (6) que son pequeños, tenemos que

$$\phi \approx \eta \quad \text{y por lo tanto } \sqrt{1+\eta^2} \approx 1$$

Finalmente obtenemos que

$$\sigma = \frac{\sigma_{max}}{E} \text{sen} (\omega t - \eta) \quad (3.3.6.)$$

Graficando σ como función de ϵ en la figura 3.3.3. da una elipse con semiejes dados por las siguientes expresiones :

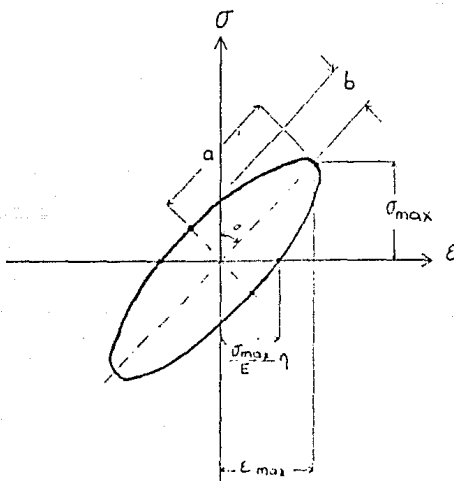


figura 3.3.3.

$$a = \frac{\sigma_{max}}{\cos \alpha} \quad (3.3.7.)$$

$$b = \frac{\sigma_{max}}{E} \eta \cos \alpha \quad (3.3.8.)$$

Entonces el área de la elipse es la energía disipada por ciclo y por unidad de volumen y nos da

$$E_I = \frac{\pi}{L} \sigma_{\max}^2 \eta \cdot \pi E G_{\max}^2 \eta \quad (3.3.9.)$$

Ahora la energía total disipada por ciclo en el espécimen es :

$$E_T = L b h \pi E G_{\max}^2 \eta \quad (3.3.10.)$$

Por lo cual la energía máxima de deformación en el espécimen de prueba será

$$U_{\max} = \frac{L b h}{2} \sigma_{\max} \epsilon_{\max} = \frac{L b h}{2} E \epsilon_{\max}^2 \quad (3.3.11.)$$

encontramos que

$$\eta = \frac{1}{2\pi} \frac{E_T}{U_{\max}} \quad (3.3.12.)$$

Lo que significa que $2\pi\eta$ define la relación de la energía disipada por ciclo a la energía de deformación de la máxima amplitud. De este modo, en el caso de un cascarón, podemos argumentar que

$$E_T = 2\pi\eta U_{\max} \quad (3.3.13.)$$

Donde U_{\max} es la energía de deformación del cascarón en la amplitud máxima. La energía disipada por ciclo y por unidad de superficie es entonces

$$E_d = \frac{2\pi\eta}{\lambda} U_{\max} \quad (3.3.14.)$$

En donde λ es el área de la superficie de referencia del cascarón, placa o viga. De este modo, el coeficiente de amortiguamiento viscoso equivalente λ es

$$\lambda = \frac{2 U_{\max}}{\omega \iint_A (U_1^2 + U_2^2 + U_3^2) dA} \eta \quad (3.3.15.)$$

Utilizando el método de Rayleigh, en la referencia [1] se estableció que

$$\omega_k^2 = \frac{2 U_{max}}{\rho h \int \int_A (U_1^2 + U_2^2 + U_3^2) dA} \quad (3.3.16.)$$

De lo cual podemos establecer una relación directa entre el coeficiente de amortiguamiento viscoso equivalente y el amortiguamiento histerético, como sigue

$$\lambda = \frac{\rho h \omega_k^2}{\omega} \eta \quad (3.3.17.)$$

o

$$\eta = \frac{\omega}{\rho h \omega_k^2} \lambda \quad (3.3.18.)$$

En donde ω : Es la frecuencia de excitación.

ω_k : Es la frecuencia natural del sistema.

Esta expresión siempre es válida cuando se obtiene la máxima amplitud del sistema y cuando forzamos éste a un movimiento armónico, sabiendo de antemano que η no es constante con la frecuencia, como ya se había mencionado anteriormente.

3.4 Análisis Dinámico de una Placa Amortiguada Histeréticamente y Excitada por una Carga Puntual Armónica.

La respuesta del sistema se calculará por medio de la deflexión máxima de la placa considerando un modelo con amortiguamiento del tipo histerético. Para este caso se tiene una placa simplemente apoyada sujeta a una carga puntual de 1000 Lbs. y de variación armónica en el tiempo, colocada al centro de la placa y considerando un amortiguamiento denominado histerético o estructural.

Se puede demostrar que para sistemas coordenados cartesianos rectilíneos, como en el caso de placas, $\lambda_1 = \lambda_2 = 1$, $dx_1 = dx$ y $dx_2 = dy$.

Ya que la carga es puntual $q_1^* = 0$, $q_2^* = 0$ y $q_3^* = F \delta(x-x^*) \delta(y-y^*)$.

Tomando la función coordenada para una placa simplemente apoyada en sus bordes

$$U_{3mn} = \text{sen} \frac{m\pi x}{a} \text{sen} \frac{n\pi y}{b} \quad (3.4.1.)$$

Resolviendo la integral de las ec. (3.1.4.1.1.) y (3.1.4.1.2.)

$$F_k^* = \frac{1}{\rho h N_{mn}} \int_{-b}^b \int_{-a}^a q_3^* U_{3mn} dx dy$$

$$N_{mn} = \int_{-b}^b \int_{-a}^a U_{3mn}^2 dx dy$$

$$N_{mn} = \int_{-b}^b \int_{-a}^a \left(\text{sen} \frac{m\pi x}{a} \text{sen} \frac{n\pi y}{b} \right)^2 dx dy$$

$$N_{mn} = \left[\frac{1}{2} y - \frac{1}{2} \frac{b}{n\pi} \text{sen} \frac{n\pi y}{b} \cos \frac{n\pi y}{b} \right]_{-b}^b$$

$$\cdot \left[\frac{1}{2} x - \frac{1}{2} \frac{a}{m\pi} \text{sen} \frac{m\pi x}{a} \cos \frac{m\pi x}{a} \right]_{-a}^a$$

$$F_{mn}^* = \frac{1}{\rho h ab} \int_{-b}^b \int_{-a}^a \left[F \delta(x-x^*) \delta(y-y^*) \right] \left[\text{sen} \frac{m\pi x}{a} \text{sen} \frac{n\pi y}{b} \right] dx dy$$

Aplicando las propiedades de la delta de Dirac

$$F_{mn}^* = \frac{4F}{\rho h ab} \operatorname{sen} \frac{m\pi x^*}{a} \operatorname{sen} \frac{n\pi y^*}{b} \quad (3.4.2.)$$

de donde $\Lambda(x^*, y^*)$ es la posición de la carga sobre la placa, y cuya ubicación más desfavorable es al centro de la placa, o sea $\Lambda(a/2, b/2)$, por lo tanto

$$F_{mn}^* = \frac{4F}{\rho h ab} \operatorname{sen} \frac{m\pi}{2} \operatorname{sen} \frac{n\pi}{2}$$

para "m" y "n" impares

$$F_{mn}^* = \frac{4F}{\rho h ab} \operatorname{sen} \frac{m\pi}{2} \operatorname{sen} \frac{n\pi}{2}$$

para "m" y "n" pares

$$F_{mn}^* = 0$$

Finalmente, para placas en las que las oscilaciones transversales son dominantes, y la respuesta establecida es de mayor importancia que la transitoria, se obtiene la siguiente expresión para el cálculo de los desplazamientos

$$u_{3en}(x, y, t) = \sum_{m=1}^{\infty} \sum_{n=1}^{\infty} \frac{4F}{\rho h ab} \frac{\operatorname{Sen} \frac{m\pi}{2} \operatorname{Sen} \frac{n\pi}{2} \operatorname{Sen} \frac{m\pi x}{a} \operatorname{Sen} \frac{n\pi y}{b}}{\omega_{mn}^2 \sqrt{\left[1 - \left(\frac{\omega}{\omega_{mn}}\right)^2\right]^2 + \eta^2}} \cdot e^{i(\omega t - \phi_{mn}^*)} \quad (3.4.3.)$$

Para nuestro caso sólo se tomará en cuenta la parte real de la ec.(3.4.3.), por lo que las expresiones finales a ocuparse serán, las siguientes.

$$u_{z_{mn}}(x, y, t) = \sum_{m=1}^{\infty} \sum_{n=1}^{\infty} \frac{4F}{\rho h ab} \frac{\text{Sen } \frac{m\pi}{2} \text{ Sen } \frac{n\pi}{2} \text{ Sen } \frac{m\pi x}{a} \text{ Sen } \frac{n\pi y}{b}}{\omega_{mn}^2 \sqrt{\left[1 - \left(\frac{\omega}{\omega_{mn}}\right)^2\right]^2 + \eta^2}} \cdot \text{Cos}(\omega t - \phi_{mn}) \quad (3.4.4.)$$

$$\omega_{mn} = \pi^2 \left[\left(\frac{m}{a}\right)^2 + \left(\frac{n}{b}\right)^2 \right] \sqrt{\frac{D}{\rho h}} \quad (3.4.5.)$$

$$D = \frac{E h^3}{12(1-\nu^2)} \quad (3.4.6.)$$

$$\phi_{mn} = \tan^{-1} \frac{\eta}{1 - \left(\frac{\omega}{\omega_{mn}}\right)^2} \quad (3.4.7.)$$

Estas expresiones finales son muy sencillas de programar, para realizar el cálculo de los desplazamientos dinámicos al centro de la placa, cuya aplicación se verá en el siguiente capítulo.

Capítulo IV.

4. Análisis Numérico.

El análisis que a continuación se presenta, consistió en analizar un gran número de placas, de diferentes dimensiones con el modelo matemático propuesto por Werner Soedel, revisado en el capítulo III; aplicando las expresiones (3.4.4.), (3.4.5.), (3.4.6.) y (3.4.7.), que representan el Desplazamiento máximo, la Frecuencia natural para la placa, la Rigidez a la flexión, y finalmente el ángulo de fase.

Los parámetros usados, y que varían son los siguientes :

- a) El amortiguamiento histerético
- b) El espesor de las placas
- c) Las relaciones a/b y h/b

Para los cálculos se ocuparon placas de acero con módulo de elasticidad de $E=29\ 000\ 000$ (Lb/in²), amortiguamiento histerético η experimentalmente determinado⁽⁶⁾ en un rango que va de 0.001 a 0.02 como se observa en las tablas (4.1.1.2) a la (4.1.1.5.), y también de las tablas (4.1.1.6.) a la (4.1.1.9.) para otra placa distinta a la del primer grupo de tablas ya mencionadas, además tomando una carga concentrada de magnitud $F=1000$ Lbs, un módulo de poisson $\nu = 0.30$ y finalmente una densidad de masa de $\rho=0.000734$ Lb-sec²/in² que es típico del acero.

El fin principal de este trabajo de tesis es la determinación de la respuesta dinámica del sistema (placa), teniendo cambios en el valor del amortiguamiento histerético. Finalmente se determinará la ley global del comportamiento del modelo presentado.

4.1. Análisis Dinámico de Placas Amortiguadas Histeréticamente, Excitadas por una Carga Puntual Armónica.

4.1.1. Desplazamiento Dinámico Máximo.

Para la obtención del desplazamiento dinámico máximo, se toma como

punto de partida , la determinación del desplazamiento estatico máximo para el caso concreto de una carga concentrada actuando en la posición más desfavorable, al centro de la placa, la que se calculará a partir de la expresión dada por Timoshenko⁽¹⁰⁾ que es :

$$\delta_{\text{max}} = \frac{4F}{\pi^4 a b D} \sum_{m=1}^{\infty} \sum_{n=1}^{\infty} \frac{1}{\left[\left(\frac{m}{a} \right)^2 + \left(\frac{n}{b} \right)^2 \right]^2} \quad (4.1.1.1.)$$

en donde $m = 1, 3, 5, 7, \text{etc.}$ y $n = 1, 3, 5, 7, \text{etc.}$

De la ecuación (4.1.1.1.) tenemos que F es la magnitud de la carga aplicada al sistema, cuyo valor se dio arbitrariamente, a y b son las dimensiones de la placa, D es la rigidez a la flexión (ec.(3.4.6.)), m y n son los números modales en las direcciones a lo largo de los ejes X y Y (ver figura 3.2.1. y figura 3.2.2.).

Para nuestro análisis, tenemos una placa simplemente apoyada a lo largo de sus bordes (figura 3.2.3.), y ocupando una función coordenada⁽¹¹⁾ que es :

$$u_{m,n} = \text{Sen} \frac{m\pi x}{a} \quad \text{Sen} \frac{n\pi y}{b}$$

que nos representa una función del tipo antisimétrica, y como la posición de la carga es al centro de la placa (posición más desfavorable), se concluye que los modos que contribuirán a la magnitud del desplazamiento son simplemente los impares.

Para principiar el cálculo de los desplazamientos dinámicos con este modelo, para el caso aquí presentado, de 2 placas cuyas dimensiones serán $b=16.5$ in constante, $a=52$ in y de $a=26$ in , con 3 distintos espesores, que son de $3/8$ " , $5/8$ " y $7/8$ " , aplicandole una carga concentrada de 1000 lbs., y con 4 amortiguamientos histeréticos distintos que son 0.0, 0.001, 0.01 y 0.02.

Se calcula como primer paso el desplazamiento máximo estático ocupando la ec.(4.1.1.1.), para los 6 casos mencionados anteriormente, y cuyos resultados son presentados en la tabla 4.1.1.1..

| Placa | | | |
|-----------|------------------------|-----------|------------------------|
| a=52 in | | b=16.5 in | |
| a=26 in | | a=26 in | |
| h (in) | δ_{max} (in) | h (in) | δ_{max} (in) |
| 0.375 | 0.0327735 | 0.375 | 0.0303171 |
| 0.625 | 0.0070791 | 0.625 | 0.0065485 |
| 0.875 | 0.0025798 | 0.875 | 0.0023864 |

tabla 4.1.1.1.

con cuyos datos se compararon los obtenidos con el modelo de la ecuación 3.4.4., tomando un amortiguamiento $\eta=0.0$ y una frecuencia de excitación $\omega = 0.0$, resultando ser iguales.

Sabiendo que el tiempo t en el cual se obtiene la máxima respuesta para cualquier frecuencia de excitación ω es :

$$t = \frac{\phi_{11}}{\omega}$$

Y sabiendo además que :

$$\delta_{max} = \frac{F_k^*}{\omega_k^2}$$

En donde tenemos que F_k^* es la función de carga, que para nuestro caso es la ecuación (3.1.4.2.1.), y ω_k es la frecuencia natural del sistema (placa), dada por la ecuación (3.4.5.).

A continuación presentamos la tabla 4.1.1.10. donde se muestran las frecuencias naturales más bajas, que es según la literatura en donde se produciría las máximas respuestas, cuando la frecuencia de excitación coincide con ellas. De la figura (4.1.1.2.) con $\eta=0.0$, se grafican los

valores máximos para diferentes frecuencias y se observa que hay un máximo de esos máximos.

| Placa | | b=16.5 in | |
|-----------|----------------------------|-----------|----------------------------|
| a=52 in | | a=26 in | |
| h (in) | ω_{11} (rad/sec) | h (in) | ω_{11} (rad/sec) |
| 0.375 | 900.0476 | 0.375 | 1147.0410 |
| 0.625 | 1500.0794 | 0.625 | 1911.7350 |
| 0.875 | 2100.1112 | 0.875 | 2676.4289 |

tabla 4.1.1.10.

Para las figuras (4.1.1.3.) a la (4.1.1.9.), para amortiguamientos histeréticos η de 0.0, 0.001, 0.01, y 0.02, cuyos datos se presentan en las tablas 4.1.1.2. a la 4.1.1.9., para las 24 placas analizadas se pudo determinar que la posición exacta del máximo de máximos coincide con la frecuencia natural más baja. La posición del máximo de máximos con amortiguamiento histerético difiere del caso con amortiguamiento viscoso equivalente en el cual se presentó la máxima antes de que la frecuencia de excitación coincidiera con la frecuencia natural del sistema como en la referencia [1].

Finalmente, en las figuras (4.1.1.2.) a la (4.1.1.9.) se puede observar que el máximo desplazamiento dinámico producido por la carga concentrada, excitada armónicamente se da como se vio antes cuando coinciden la frecuencia de excitación con la frecuencia natural más baja del sistema (placa), dichos valores se resumen en las tablas 4.1.1.11. y 4.1.1.12..

Con un procedimiento análogo al presentado en la referencia [1], con la cual se pretendía comparar los resultados; se graficaron ω_b (ω_e es la frecuencia natural más baja para dicha placa) contra la relación de aspecto a/b y para varias h/b , así como graficando ω_b contra δ_{max}/b (desplazamiento dinámico máximo entre la dimensión b), esto nos llevó a

| ESFUERZOS h_1 ($i = 1, 2, y 3$) en in. | | | | | |
|--|----------------------|---------------------|----------------------|---------------------|----------------------|
| 0.375 | | 0.625 | | 0.875 | |
| σ rad/sec | δ_{max} in | σ rad/sec | δ_{max} in | σ rad/sec | δ_{max} in |
| 0.00 | 0.0378 | 0.00 | 0.0070 | 0.00 | 0.00257 |
| 50.00 | 0.0329 | 50.00 | 0.0071 | 50.00 | 0.00258 |
| 200.00 | 0.0340 | 200.00 | 0.0072 | 200.00 | 0.00260 |
| 400.00 | 0.0352 | 400.00 | 0.0074 | 400.00 | 0.00265 |
| 600.00 | 0.0365 | 600.00 | 0.0075 | 600.00 | 0.00274 |
| 800.00 | 0.0430 | 800.00 | 0.0077 | 800.00 | 0.00289 |
| 1000.00 | 0.0508 | 1000.00 | 0.0080 | 1000.00 | 0.00311 |
| 1200.00 | 0.0667 | 1200.00 | 0.0085 | 1200.00 | 0.00345 |
| 1400.00 | 0.1141 | 1400.00 | 0.0090 | 1400.00 | 0.00369 |
| 1600.00 | 0.2084 | 1600.00 | 0.0098 | 1600.00 | 0.00400 |
| 1800.00 | 0.2555 | 1800.00 | 0.0110 | 1800.00 | 0.00442 |
| 2000.00 | 0.3347 | 2000.00 | 0.0127 | 2000.00 | 0.00500 |
| 2200.00 | 0.4299 | 2200.00 | 0.0155 | 2200.00 | 0.00587 |
| 2400.00 | 0.5726 | 2400.00 | 0.0215 | 2400.00 | 0.00713 |
| 2600.00 | 0.6395 | 2600.00 | 0.0252 | 2600.00 | 0.00812 |
| 2800.00 | 0.8224 | 2800.00 | 0.0321 | 2800.00 | 0.01037 |
| 3000.00 | 0.9572 | 3000.00 | 0.0405 | 3000.00 | 0.01248 |
| 3200.00 | 1.1899 | 3200.00 | 0.4237 | 3200.00 | 0.02017 |
| 3400.00 | 1.5765 | 3400.00 | 0.5617 | 3400.00 | 0.04471 |
| 3600.00 | 2.3453 | 3600.00 | 0.8348 | 3600.00 | 0.08756 |
| 3800.00 | 4.0156 | 3800.00 | 1.0331 | 3800.00 | 0.12960 |
| 4000.00 | 9.0010 | 4000.00 | 3.1425 | 4000.00 | 0.31973 |
| 4200.00 | 196.2615 | 4200.00 | 52.5699 | 4200.00 | 15.49638 |
| 4400.00 | 3704.8700 | 4400.00 | 1262.0660 | 4400.00 | 343.52800 |
| 4600.00 | 4.8302 | 4600.00 | 3.6875 | 4600.00 | 0.17559 |
| 4800.00 | 2.3312 | 4800.00 | 1.7661 | 4800.00 | 0.10419 |
| 5000.00 | 1.5913 | 5000.00 | 0.8463 | 5000.00 | 0.12526 |
| 5200.00 | 1.1937 | 5200.00 | 0.5741 | 5200.00 | 0.10760 |
| 5400.00 | 0.9560 | 5400.00 | 0.4799 | 5400.00 | 0.09741 |
| 5600.00 | 0.4923 | 5600.00 | 0.3137 | 5600.00 | 0.08772 |
| 5800.00 | 0.3250 | 5800.00 | 0.1723 | 5800.00 | 0.05866 |
| 6000.00 | 0.2465 | 6000.00 | 0.1155 | 6000.00 | 0.04117 |
| 6200.00 | 0.1996 | 6200.00 | 0.0872 | 6200.00 | 0.03111 |
| 6400.00 | 0.1683 | 6400.00 | 0.0709 | 6400.00 | 0.02348 |
| 6600.00 | 0.1461 | 6600.00 | 0.0589 | 6600.00 | 0.01871 |
| 6800.00 | 0.1254 | 6800.00 | 0.0508 | 6800.00 | 0.01591 |
| 7000.00 | 0.1165 | 7000.00 | 0.0401 | 7000.00 | 0.01243 |
| 7200.00 | 0.1063 | 7200.00 | 0.0364 | 7200.00 | 0.01243 |
| 7400.00 | 0.0655 | 7400.00 | 0.0197 | 7400.00 | 0.00957 |
| 7600.00 | 0.0194 | 7600.00 | 0.0143 | 7600.00 | 0.00670 |

Tabla 4.1.1.2. Desplazamiento Dinámico de Placas de acero de 2 Distintos valores totales con dimensiones de 52×16.5 y con $\mu = 0.0$.

| ESFUERZOS h_1 ($i = 1, 2, y 3$) en in. | | | | | |
|--|----------------------|---------------------|----------------------|---------------------|----------------------|
| 0.375 | | 0.625 | | 0.875 | |
| σ rad/sec | δ_{max} in | σ rad/sec | δ_{max} in | σ rad/sec | δ_{max} in |
| 0.00 | 0.037273 | 0.00 | 0.007091 | 0.00 | 0.0025790 |
| 50.00 | 0.032862 | 50.00 | 0.007047 | 50.00 | 0.0025808 |
| 200.00 | 0.033702 | 200.00 | 0.007170 | 200.00 | 0.0025962 |
| 400.00 | 0.034821 | 400.00 | 0.0072407 | 400.00 | 0.0026492 |
| 600.00 | 0.036459 | 600.00 | 0.0074651 | 600.00 | 0.0027434 |
| 800.00 | 0.0429825 | 800.00 | 0.0077073 | 800.00 | 0.0028899 |
| 1000.00 | 0.0506714 | 1000.00 | 0.0080325 | 1000.00 | 0.0031117 |
| 1200.00 | 0.0660664 | 1200.00 | 0.0084657 | 1200.00 | 0.0034511 |
| 1400.00 | 0.114440 | 1400.00 | 0.0090471 | 1400.00 | 0.0036905 |
| 1600.00 | 0.2084215 | 1600.00 | 0.0098438 | 1600.00 | 0.0040002 |
| 1800.00 | 0.2554346 | 1800.00 | 0.0109774 | 1800.00 | 0.0044165 |
| 2000.00 | 0.3366841 | 2000.00 | 0.0126907 | 2000.00 | 0.0050060 |
| 2200.00 | 0.4299335 | 2200.00 | 0.0155492 | 2200.00 | 0.0058741 |
| 2400.00 | 0.5726348 | 2400.00 | 0.0213432 | 2400.00 | 0.0071306 |
| 2600.00 | 0.6395107 | 2600.00 | 0.0254144 | 2600.00 | 0.0102249 |
| 2800.00 | 0.8224089 | 2800.00 | 0.0320759 | 2800.00 | 0.0188739 |
| 3000.00 | 0.9572084 | 3000.00 | 0.0396093 | 3000.00 | 0.0231590 |
| 3200.00 | 1.1899270 | 3200.00 | 0.4215241 | 3200.00 | 0.0291690 |
| 3400.00 | 1.5765250 | 3400.00 | 0.5574007 | 3400.00 | 0.0446985 |
| 3600.00 | 2.3452930 | 3600.00 | 0.8210520 | 3600.00 | 0.0874471 |
| 3800.00 | 4.0081170 | 3800.00 | 1.5364940 | 3800.00 | 0.1716311 |
| 4000.00 | 8.2096950 | 4000.00 | 3.5508110 | 4000.00 | 0.3427340 |
| 4200.00 | 20.8057300 | 4200.00 | 4.4763120 | 4200.00 | 1.6370490 |
| 4400.00 | 20.9246800 | 4400.00 | 4.5195170 | 4400.00 | 1.4440540 |
| 4600.00 | 2.7041180 | 4600.00 | 2.5557660 | 4600.00 | 0.1766230 |
| 4800.00 | 2.3760660 | 4800.00 | 1.6454390 | 4800.00 | 0.1456329 |
| 5000.00 | 1.5867470 | 5000.00 | 0.8509523 | 5000.00 | 0.1249104 |
| 5200.00 | 1.1913570 | 5200.00 | 0.5696739 | 5200.00 | 0.1073640 |
| 5400.00 | 0.9550288 | 5400.00 | 0.4380339 | 5400.00 | 0.0972320 |
| 5600.00 | 0.4821693 | 5600.00 | 0.3127484 | 5600.00 | 0.0576040 |
| 5800.00 | 0.3249671 | 5800.00 | 0.1722076 | 5800.00 | 0.0366202 |
| 6000.00 | 0.2452239 | 6000.00 | 0.1154803 | 6000.00 | 0.0241502 |
| 6200.00 | 0.1995560 | 6200.00 | 0.0871621 | 6200.00 | 0.0181313 |
| 6400.00 | 0.1681125 | 6400.00 | 0.0701929 | 6400.00 | 0.0150482 |
| 6600.00 | 0.1440588 | 6600.00 | 0.0589834 | 6600.00 | 0.0127074 |
| 6800.00 | 0.1294210 | 6800.00 | 0.0508316 | 6800.00 | 0.0124914 |
| 7000.00 | 0.1165290 | 7000.00 | 0.0401025 | 7000.00 | 0.0101276 |
| 7200.00 | 0.1062605 | 7200.00 | 0.0363556 | 7200.00 | 0.0114310 |
| 7400.00 | 0.0655051 | 7400.00 | 0.0196509 | 7400.00 | 0.0065287 |
| 7600.00 | 0.0474051 | 7600.00 | 0.0143970 | 7600.00 | 0.0047631 |

Tabla 4.1.1.3. Desplazamiento Dinámico de Placas de acero de 2 Distintos valores totales con dimensiones de 52×16.5 y con $\mu = 0.001$.

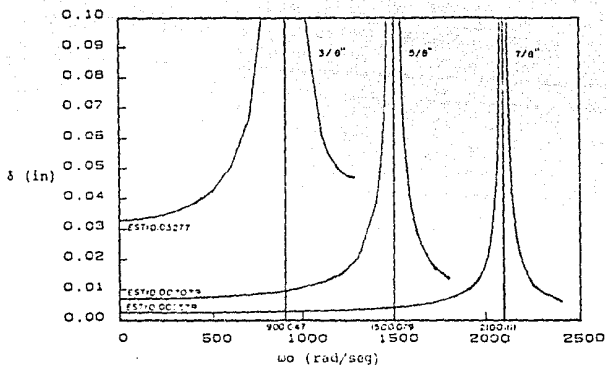


Figura 4.1.1.2. Desplazamiento Dinámico de placas de acero de 3 distintos espesores todas con dimensiones de 52 x 16.5 y con $\eta = 0.0$

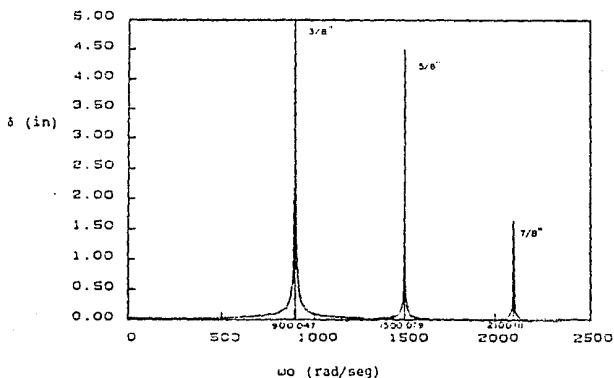


Figura 4.1.1.3. Desplazamiento Dinámico de placas de acero de 3 distintos espesores todas con dimensiones de 52 x 16.5 y con $\eta = 0.001$

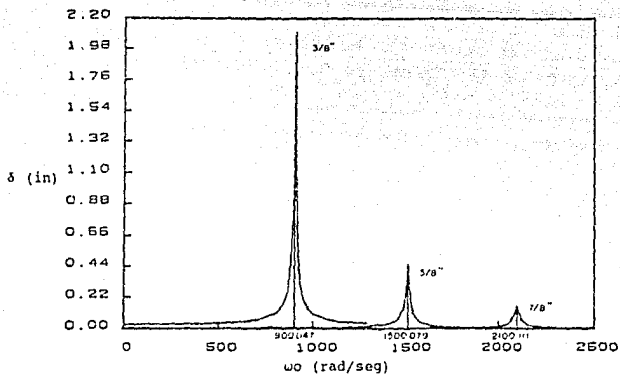


Figura 4.1.1.4. Desplazamiento Dinámico de placas de acero de 3 distintos espesores todas con dimensiones de 52 x 16.5 y con $\eta = 0.010$

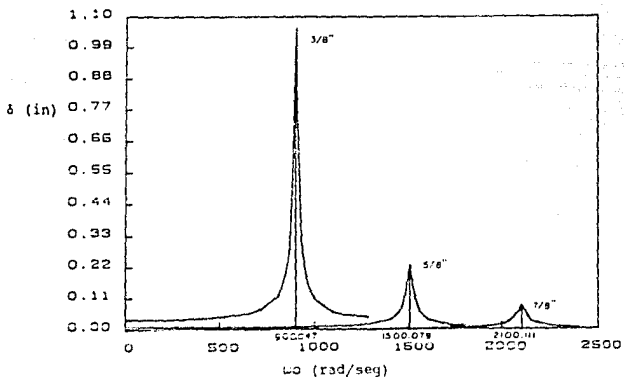


Figura 4.1.1.5. Desplazamiento Dinámico de placas de acero de 3 distintos espesores todas con dimensiones de 52 x 16.5 y con $\eta = 0.020$

| ESPESESOS $h_i (i = 1, 2, y, 3) \text{ en in.}$ | | | | | |
|---|----------------------|---------------------|----------------------|---------------------|----------------------|
| 0.375 | | 0.625 | | 0.875 | |
| ω rad/sec | δ_{max} in | ω rad/sec | δ_{max} in | ω rad/sec | δ_{max} in |
| 0.00 | 0.000 | 0.00 | 0.0055 | 0.00 | 0.00238 |
| 50.00 | 0.030 | 50.00 | 0.0066 | 50.00 | 0.00239 |
| 200.00 | 0.031 | 500.00 | 0.0069 | 200.00 | 0.00240 |
| 300.00 | 0.032 | 700.00 | 0.0074 | 300.00 | 0.00241 |
| 400.00 | 0.033 | 1000.00 | 0.0086 | 400.00 | 0.00242 |
| 500.00 | 0.036 | 1600.00 | 0.0195 | 500.00 | 0.00251 |
| 600.00 | 0.040 | 1650.00 | 0.0228 | 1000.00 | 0.00271 |
| 700.00 | 0.045 | 1700.00 | 0.0276 | 1200.00 | 0.00290 |
| 800.00 | 0.051 | 1800.00 | 0.0302 | 1400.00 | 0.00315 |
| 900.00 | 0.071 | 1860.00 | 0.1052 | 1600.00 | 0.00322 |
| 1000.00 | 0.112 | 1870.00 | 0.1298 | 1800.00 | 0.00406 |
| 1100.00 | 0.325 | 1880.00 | 0.1619 | 2000.00 | 0.00495 |
| 1110.00 | 0.410 | 1890.00 | 0.2470 | 2200.00 | 0.00562 |
| 1120.00 | 0.557 | 1892.00 | 0.2717 | 2400.00 | 0.01072 |
| 1130.00 | 0.877 | 1894.00 | 0.3021 | 2500.00 | 0.01677 |
| 1135.00 | 1.237 | 1895.00 | 0.3402 | 2550.00 | 0.02234 |
| 1140.00 | 2.108 | 1898.00 | 0.3894 | 2600.00 | 0.02637 |
| 1142.00 | 2.980 | 1900.00 | 0.5451 | 2650.00 | 0.10750 |
| 1143.00 | 3.665 | 1902.00 | 0.5484 | 2660.00 | 0.16576 |
| 1144.00 | 4.265 | 1904.00 | 0.6796 | 2662.00 | 0.18889 |
| 1145.00 | 7.255 | 1906.00 | 0.9243 | 2666.00 | 0.26073 |
| 1146.00 | 14.191 | 1908.00 | 1.1255 | 2670.00 | 0.42272 |
| 1147.00 | 358.770 | 1911.00 | 7.2376 | 2676.00 | 6.21579 |
| 1147.04 | 107988.400 | 1911.74 | 21325.5063 | 2676.41 | 5667.63200 |
| 1148.00 | 15.273 | 1912.00 | 20.0746 | 2677.00 | 6.75459 |
| 1149.00 | 7.536 | 1914.00 | 2.3467 | 2678.00 | 1.72655 |
| 1150.00 | 4.788 | 1916.00 | 1.2460 | 2680.00 | 0.75935 |
| 1152.00 | 2.976 | 1918.00 | 0.8451 | 2690.00 | 0.19927 |
| 1153.00 | 2.120 | 1920.00 | 0.6428 | 2700.00 | 0.11494 |
| 1156.00 | 1.646 | 1930.00 | 0.2907 | 2750.00 | 0.03674 |
| 1158.00 | 1.115 | 1940.00 | 0.1877 | 2800.00 | 0.02171 |
| 1160.00 | 1.137 | 1950.00 | 0.1885 | 2850.00 | 0.01551 |
| 1170.00 | 0.641 | 2000.00 | 0.1059 | 2900.00 | 0.01202 |
| 1180.00 | 0.446 | 2050.00 | 0.0381 | 2950.00 | 0.00791 |
| 1190.00 | 0.312 | 2100.00 | 0.0279 | 3000.00 | 0.00579 |
| 1200.00 | 0.277 | 2150.00 | 0.0220 | 3050.00 | 0.00471 |
| 1300.00 | 0.095 | 2200.00 | 0.0182 | 3100.00 | 0.00637 |
| 1400.00 | 0.057 | 2250.00 | 0.0155 | 3200.00 | 0.00510 |
| 1500.00 | 0.026 | 2300.00 | 0.0135 | 3300.00 | 0.00428 |
| 2200.00 | 0.015 | 2400.00 | 0.0107 | 3400.00 | 0.00367 |

Tabla 4.1.1.6. Desplazamiento Dinámico de placas de acero de 3 distintos espesores todas con dimensiones de 26×16.5 y con $\eta = 0.0$.

| ESPESESOS $h_i (i = 1, 2, y, 3) \text{ en in.}$ | | | | | |
|---|----------------------|---------------------|----------------------|---------------------|----------------------|
| 0.375 | | 0.625 | | 0.875 | |
| ω rad/sec | δ_{max} in | ω rad/sec | δ_{max} in | ω rad/sec | δ_{max} in |
| 0.00 | 0.000317 | 0.00 | 0.0065485 | 0.00 | 0.0023864 |
| 50.00 | 0.003036 | 50.00 | 0.0065523 | 50.00 | 0.0023871 |
| 200.00 | 0.003191 | 500.00 | 0.0069741 | 200.00 | 0.0023979 |
| 300.00 | 0.003224 | 700.00 | 0.0074166 | 300.00 | 0.0024131 |
| 400.00 | 0.0031911 | 1000.00 | 0.0086580 | 400.00 | 0.0024146 |
| 500.00 | 0.004041 | 1600.00 | 0.0195921 | 500.00 | 0.0025870 |
| 600.00 | 0.0040481 | 1650.00 | 0.022812 | 600.00 | 0.0027180 |
| 700.00 | 0.005009 | 1700.00 | 0.0276093 | 700.00 | 0.0029003 |
| 800.00 | 0.051876 | 1800.00 | 0.0309194 | 800.00 | 0.0031522 |
| 900.00 | 0.071713 | 1860.00 | 0.105185 | 900.00 | 0.0032096 |
| 1000.00 | 0.112006 | 1870.00 | 0.1297627 | 1000.00 | 0.0040592 |
| 1100.00 | 0.325557 | 1890.00 | 0.1698713 | 1100.00 | 0.0049694 |
| 1110.00 | 0.420951 | 1892.00 | 0.2467730 | 1110.00 | 0.0066223 |
| 1120.00 | 0.557269 | 1894.00 | 0.2714762 | 1120.00 | 0.0107217 |
| 1130.00 | 0.877311 | 1894.00 | 0.3017209 | 1130.00 | 0.0167217 |
| 1135.00 | 1.279613 | 1895.00 | 0.3396787 | 1135.00 | 0.0223381 |
| 1140.00 | 2.161429 | 1898.00 | 0.3850550 | 1140.00 | 0.0263713 |
| 1142.00 | 2.921522 | 1900.00 | 0.5290885 | 1142.00 | 0.1033746 |
| 1143.00 | 3.678764 | 1902.00 | 0.5171513 | 1143.00 | 0.1634169 |
| 1144.00 | 4.782135 | 1904.00 | 0.5844658 | 1144.00 | 0.1880183 |
| 1145.00 | 6.975060 | 1906.00 | 0.9163589 | 1145.00 | 0.2555030 |
| 1146.00 | 12.431920 | 1908.00 | 1.1404340 | 1146.00 | 0.4138130 |
| 1147.00 | 25.685200 | 1911.00 | 7.4994610 | 1147.00 | 1.9301180 |
| 1147.04 | 25.751276 | 1911.74 | 5.5622736 | 1147.04 | 2.0296490 |
| 1148.00 | 13.217220 | 1912.00 | 5.8604930 | 1148.00 | 5.671380 |
| 1149.00 | 7.232518 | 1914.00 | 2.1523400 | 1149.00 | 1.2445020 |
| 1150.00 | 4.898056 | 1916.00 | 1.2559400 | 1150.00 | 0.7112356 |
| 1152.00 | 2.956575 | 1918.00 | 0.8485072 | 1152.00 | 0.1987400 |
| 1154.00 | 2.113226 | 1920.00 | 0.6386204 | 1154.00 | 0.1145738 |
| 1156.00 | 1.643324 | 1930.00 | 0.2903109 | 1156.00 | 0.0367408 |
| 1158.00 | 1.134032 | 1940.00 | 0.1876322 | 1158.00 | 0.0217100 |
| 1160.00 | 1.136801 | 1950.00 | 0.1855502 | 1160.00 | 0.0155103 |
| 1170.00 | 0.644136 | 2000.00 | 0.1059110 | 1170.00 | 0.0120194 |
| 1180.00 | 0.446459 | 2050.00 | 0.0381501 | 1180.00 | 0.0079134 |
| 1190.00 | 0.312238 | 2100.00 | 0.0276870 | 1190.00 | 0.0058708 |
| 1200.00 | 0.273729 | 2150.00 | 0.0226133 | 1200.00 | 0.0047141 |
| 1300.00 | 0.095424 | 2200.00 | 0.0182134 | 1300.00 | 0.0063223 |
| 1400.00 | 0.057561 | 2250.00 | 0.0155073 | 1400.00 | 0.0051095 |
| 1500.00 | 0.026746 | 2300.00 | 0.0135030 | 1500.00 | 0.0042898 |
| 2200.00 | 0.015493 | 2400.00 | 0.0107371 | 2200.00 | 0.0036075 |

Tabla 4.1.1.7. Desplazamiento Dinámico de placas de acero de 3 distintos espesores todas con dimensiones de 26×16.5 y con $\eta = 0.601$.

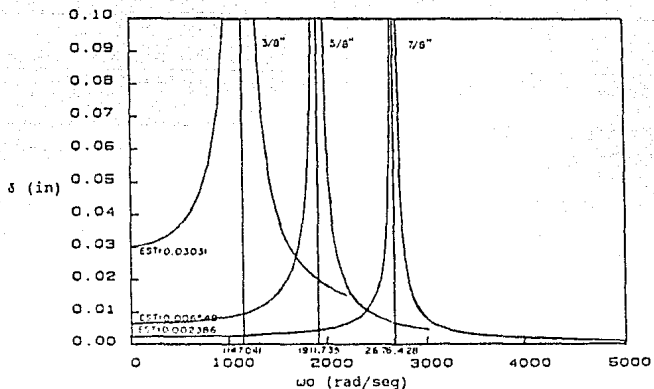


Figura 4.1.1.6. Desplazamiento Dinámico de placas de acero de 3 distintos espesores todas con dimensiones de 26 x 16.5 y con $\eta = 0.0$

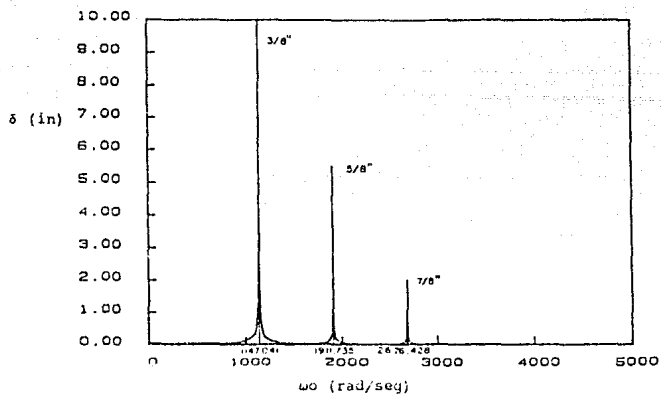


Figura 4.1.1.7. Desplazamiento Dinámico de placas de acero de 3 distintos espesores todas con dimensiones de 26 x 16.5 y con $\eta = 0.001$

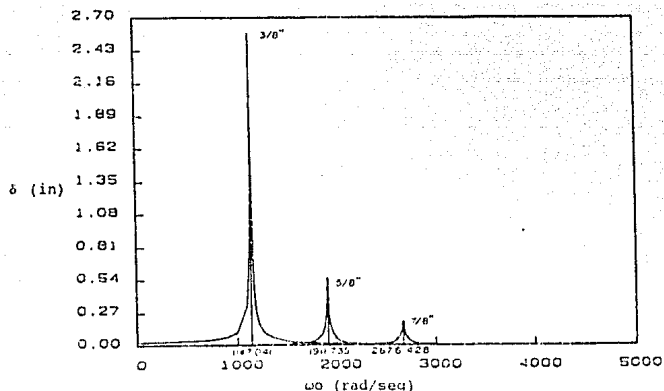


Figura 4.1.1.8. Desplazamiento Dinámico de placas de acero de 3 distintos espesores todas con dimensiones de 26 x 16.5 y con $\eta = 0.010$

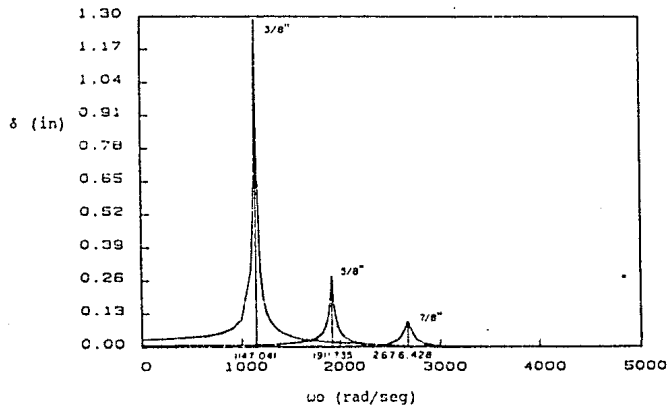


Figura 4.1.1.9. Desplazamiento Dinámico de placas de acero de 3 distintos espesores todas con dimensiones de 52 x 16.5 y con $\eta = 0.020$

| a=52 in | | b=16.5 in | | | |
|-----------|----------------------------|------------------------|--------------|-------------|-------------|
| h (in) | ω_{11} (rad/sec) | δ_{max} (in) | | | |
| | | $\eta=0.0$ | $\eta=0.001$ | $\eta=0.01$ | $\eta=0.02$ |
| 0.375 | 900.04764 | 87694.87 | 20.9236 | 2.1064 | 1.0610 |
| 0.625 | 1500.07940 | 12612.06 | 4.5195 | 0.4549 | 0.2291 |
| 0.875 | 2100.11120 | 3451.54 | 1.6470 | 0.1658 | 0.0835 |

tabla 4.1.1.11.

| a=26 in | | b=16.5 in | | | |
|-----------|----------------------------|------------------------|--------------|-------------|-------------|
| h (in) | ω_{11} (rad/sec) | δ_{max} (in) | | | |
| | | $\eta=0.0$ | $\eta=0.001$ | $\eta=0.01$ | $\eta=0.02$ |
| 0.375 | 1147.0410 | 107988.40 | 25.7512 | 2.5794 | 1.2921 |
| 0.625 | 1911.7350 | 23325.50 | 5.5622 | 0.5571 | 0.2791 |
| 0.875 | 2676.4289 | 5667.03 | 2.0270 | 0.2030 | 0.1017 |

*,** ver apéndice A.

tabla 4.1.1.12.

obtener unas curvas paralelas en escala doble logarítmica cuyos datos se presentan en la tabla (4.1.1.13.) y cuya figura 4.1.1.10. a) representa a ese conjunto de valores, y además en la segunda, se obtuvo una serie de rectas paralelas en escala doble logarítmica, cuyos datos son los que contiene la tabla (4.1.1.14.) que se representan gráficamente en la figura 4.1.1.10. b) y formando con ambas figuras un nomograma de diseño para placas amortiguadas histeréticamente bajo carga puntual armónica, la cual es una clase de carga de uso práctico en ingeniería, con el cual de manera sencilla se determina el desplazamiento dinámico máximo para infinidad de placas, con distintos amortiguamientos histeréticos cuyo rango va de izquierda a derecha de forma descendente en cuanto a su valor, o sea de 0.1, 0.09, 0.08, 0.07, 0.06, 0.05, 0.04, 0.03, 0.02, 0.01, 0.009, y así sucesivamente hasta llegar a 0.000001, como se observa en la figura 4.1.1.10. b), las rectas de esta figura tienen una pendiente constante y una separación entre ellas de forma semilogarítmica, concluyendo que este nomograma representa en realidad un ESPECTRO DE ESPECTROS.

| A in | B in | H in | A/B — | H/B — | ω_a rad/sec | ω_B rad-in/sec |
|---------|---------|---------|----------|----------|-----------------------|--------------------------|
| 90 | 10 | 0.040 | 9 | 0.004 | 240.386 | 2403.96 |
| 80 | 10 | 0.040 | 8 | 0.004 | 241.175 | 2411.75 |
| 70 | 10 | 0.040 | 7 | 0.004 | 242.311 | 2423.11 |
| 60 | 10 | 0.040 | 6 | 0.004 | 244.061 | 2440.61 |
| 50 | 10 | 0.040 | 5 | 0.004 | 246.863 | 2469.63 |
| 40 | 10 | 0.040 | 4 | 0.004 | 252.306 | 2523.06 |
| 30 | 10 | 0.040 | 3 | 0.004 | 263.850 | 2638.50 |
| 20 | 10 | 0.040 | 2 | 0.004 | 280.531 | 2809.31 |
| 10 | 10 | 0.040 | 1 | 0.004 | 474.930 | 4749.30 |
| 90 | 10 | 0.050 | 9 | 0.005 | 300.496 | 3004.96 |
| 70 | 10 | 0.050 | 7 | 0.005 | 302.889 | 3028.89 |
| 40 | 10 | 0.050 | 4 | 0.005 | 315.383 | 3153.83 |
| 10 | 10 | 0.050 | 1 | 0.005 | 593.662 | 5936.62 |
| 90 | 10 | 0.060 | 9 | 0.006 | 360.595 | 3605.95 |
| 70 | 10 | 0.060 | 7 | 0.006 | 363.467 | 3634.67 |
| 40 | 10 | 0.060 | 4 | 0.006 | 378.460 | 3784.60 |
| 10 | 10 | 0.060 | 1 | 0.006 | 712.395 | 7123.95 |
| 90 | 10 | 0.070 | 9 | 0.007 | 420.694 | 4206.94 |
| 70 | 10 | 0.070 | 7 | 0.007 | 424.044 | 4240.44 |
| 40 | 10 | 0.070 | 4 | 0.007 | 441.536 | 4415.36 |
| 10 | 10 | 0.070 | 1 | 0.007 | 831.127 | 8311.27 |
| 90 | 10 | 0.080 | 9 | 0.008 | 480.793 | 4807.93 |
| 70 | 10 | 0.080 | 7 | 0.008 | 484.622 | 4846.22 |
| 40 | 10 | 0.080 | 4 | 0.008 | 504.613 | 5046.13 |
| 10 | 10 | 0.080 | 1 | 0.008 | 949.860 | 9498.60 |
| 90 | 10 | 0.090 | 9 | 0.009 | 540.892 | 5408.92 |
| 70 | 10 | 0.090 | 7 | 0.009 | 545.200 | 5452.00 |
| 40 | 10 | 0.090 | 4 | 0.009 | 567.689 | 5676.89 |
| 10 | 10 | 0.090 | 1 | 0.009 | 1068.592 | 10685.92 |
| 90 | 10 | 0.100 | 9 | 0.010 | 600.991 | 6009.91 |
| 70 | 10 | 0.100 | 7 | 0.010 | 605.778 | 6057.78 |
| 40 | 10 | 0.100 | 4 | 0.010 | 630.766 | 6307.66 |
| 10 | 10 | 0.100 | 1 | 0.010 | 1187.324 | 11873.24 |

Tabla 4.1.1.13.

| a | b | h | $\frac{a}{b}$ | $\frac{h}{b}$ | $\frac{\delta_{max}}{b}$ | ω_b | η |
|----|----|------|---------------|---------------|--------------------------|------------|----------|
| in | in | in | b | b | b | rad/sec | |
| 52 | 26 | 0.04 | 2 | 0.0015 | 2010150.000000000 | 1141.658 | 0.000001 |
| 52 | 26 | 0.10 | 2 | 0.0038 | 128649.600000000 | 2854.146 | 0.000001 |
| 52 | 26 | 3.00 | 2 | 0.1154 | 4.764800000 | 85624.380 | 0.000001 |
| 52 | 26 | 0.04 | 2 | 0.0015 | 402030.500000000 | 1141.658 | 0.000005 |
| 52 | 26 | 0.10 | 2 | 0.0038 | 25729.950000000 | 2854.146 | 0.000005 |
| 52 | 26 | 3.00 | 2 | 0.1154 | 0.952961000 | 85624.380 | 0.000005 |
| 52 | 26 | 0.04 | 2 | 0.0015 | 201015.500000000 | 1141.658 | 0.000010 |
| 52 | 26 | 0.10 | 2 | 0.0038 | 12864.990000000 | 2854.146 | 0.000010 |
| 52 | 26 | 3.00 | 2 | 0.1154 | 0.476481100 | 85624.380 | 0.000010 |
| 52 | 26 | 0.04 | 2 | 0.0015 | 40203.540000000 | 1141.658 | 0.000050 |
| 52 | 26 | 0.10 | 2 | 0.0038 | 2573.026000000 | 2854.146 | 0.000050 |
| 52 | 26 | 3.00 | 2 | 0.1154 | 0.095297270 | 85624.380 | 0.000050 |
| 52 | 26 | 0.04 | 2 | 0.0015 | 20102.050000000 | 1141.658 | 0.000100 |
| 52 | 26 | 0.10 | 2 | 0.0038 | 1286.531000000 | 2854.146 | 0.000100 |
| 52 | 26 | 3.00 | 2 | 0.1154 | 0.047649300 | 85624.380 | 0.000100 |
| 52 | 26 | 0.04 | 2 | 0.0015 | 4020.864000000 | 1141.658 | 0.000500 |
| 52 | 26 | 0.10 | 2 | 0.0038 | 257.335400000 | 2854.146 | 0.000500 |
| 52 | 26 | 3.00 | 2 | 0.1154 | 0.009510936 | 85624.380 | 0.000500 |
| 52 | 26 | 0.04 | 2 | 0.0015 | 2010.716000000 | 1141.658 | 0.001000 |
| 52 | 26 | 0.10 | 2 | 0.0038 | 128.685900000 | 2854.146 | 0.001000 |
| 52 | 26 | 3.00 | 2 | 0.1154 | 0.004766144 | 85624.380 | 0.001000 |
| 52 | 26 | 0.04 | 2 | 0.0015 | 402.599400000 | 1141.658 | 0.005000 |
| 52 | 26 | 0.10 | 2 | 0.0038 | 25.766390000 | 2854.146 | 0.005000 |
| 52 | 26 | 3.00 | 2 | 0.1154 | 0.000954311 | 85624.380 | 0.005000 |
| 52 | 26 | 0.04 | 2 | 0.0015 | 201.585400000 | 1141.658 | 0.010000 |
| 52 | 26 | 0.10 | 2 | 0.0038 | 12.901480000 | 2854.146 | 0.010000 |
| 52 | 26 | 3.00 | 2 | 0.1154 | 0.000477832 | 85624.380 | 0.010000 |
| 52 | 26 | 0.04 | 2 | 0.0015 | 101.078300000 | 1141.658 | 0.020000 |
| 52 | 26 | 0.10 | 2 | 0.0038 | 6.469021000 | 2854.146 | 0.020000 |
| 52 | 26 | 3.00 | 2 | 0.1154 | 0.000239593 | 85624.380 | 0.020000 |
| 52 | 26 | 0.04 | 2 | 0.0015 | 40.773670000 | 1141.658 | 0.050000 |
| 52 | 26 | 0.10 | 2 | 0.0038 | 2.609508000 | 2854.146 | 0.050000 |
| 52 | 26 | 3.00 | 2 | 0.1154 | 0.000096648 | 85624.380 | 0.050000 |
| 52 | 26 | 0.04 | 2 | 0.0015 | 22.903810000 | 1141.658 | 0.090000 |
| 52 | 26 | 0.10 | 2 | 0.0038 | 1.465837000 | 2854.146 | 0.090000 |
| 52 | 26 | 3.00 | 2 | 0.1154 | 0.000054290 | 85624.380 | 0.090000 |
| 52 | 26 | 0.04 | 2 | 0.0015 | 20.669650000 | 1141.658 | 0.100000 |
| 52 | 26 | 0.10 | 2 | 0.0038 | 1.322852000 | 2854.146 | 0.100000 |
| 52 | 26 | 3.00 | 2 | 0.1154 | 0.000048994 | 85624.380 | 0.100000 |

Tabla 4.1.1.14.

Los parámetros a/b , h/b , δ_{max}/b y $\omega_0 b$, fueron importantes para la realización del nomograma, con este es posible determinar una gran cantidad de información para infinidad de placas de acero, para nuestro caso, debido a lo cual es importante determinar una expresión matemática que represente todo el nomograma.

Para determinar la ecuación de las rectas de la figura 4.1.1.10. b) que son rectas que representan el comportamiento del modelo para el caso de placas, la pendiente se calculará con la siguiente expresión:

$$\text{Tan } \theta = m = B = \frac{\text{Ln } y_{1,1} - \text{Ln } y_1}{\text{Ln } x_{1,1} - \text{Ln } x_1}$$

de donde $x_{1,1}$ representa el valor de la abscisa y la $y_{1,1}$ es el correspondiente valor de la ordenada para un punto $P(x_{1,1}, y_{1,1})$ de la recta.

Ahora sustituyendo los datos de una de las rectas de la figura 4.1.1.10. b) en la ecuación anterior para el cálculo de la pendiente, obtenemos que el valor de la pendiente para todas las rectas es de -3.0, y corresponde a $\theta = -71^\circ 34'$, lo cual lo comprobamos para otras rectas y si cumplían con esa misma pendiente.

Ahora ocupando la ecuación punto-pendiente, de la forma :

$$\text{Ln } (\delta_{max}/b) = m \text{ Ln } (\omega_0 b) + B$$

y sustituyendo la pendiente $m = -3.0$ en la ecuación anterior tenemos ahora :

$$\text{Ln } (\delta_{max}/b) = -3.0 \text{ Ln } (\omega_0 b) + B \quad (4.1.1.2.)$$

La ecuación (4.1.1.2.) representa la ecuación de una recta de pendiente igual a -3.0 pero con una ordenada al origen variable (B), la cual variará con el valor del amortiguamiento histerético, y así tomando

los datos presentados en la tabla 4.1.1.15. se graficaron en ejes semi-logarítmicos, (en x el valor de B y en y el valor logarítmico de η) como se puede observar en la figura 4.1.1.15. tiende a ser una recta pero como no es exactamente una recta se realiza un ajuste por medio de mínimos cuadrados, para lo cual se ocuparon los datos de la tabla 4.1.1.15. y llegamos a la ecuación de una recta que es :

$$\ln(\eta) = -1.012281404 B + 22.19937090$$

de donde tenemos que despejando a B nos queda así :

$$B = 21.930038 - 0.9878676 \ln(\eta) \quad (4.1.1.3.)$$

y sustituyendo (4.1.1.3.) en (4.1.1.2.) llegamos a la siguiente expresión :

$$\ln(\delta_{max}/b) = -3.0(\omega_0 b) - 0.9878676 \ln(\eta) + 21.930038$$

Finalmente la expresión que aproximadamente representará al modelo histerético (o sea al nomograma de la figura 4.1.1.10.) será :

$$\delta_{max}/b = e^{-3\ln(\omega_0 b) - 0.9878676 \ln(\eta) + 21.930038} \quad (4.1.1.4.)$$

La ecuación (4.1.1.4.) es la expresión que representa a todo el nomograma de la figura 4.1.1.10. que se utilizará para calcular el desplazamiento dinámico máximo en vibración forzada para cualquier placa simplemente apoyada en sus bordes, en función del coeficiente de amortiguamiento (factor de pérdidas) η y del parámetro $\omega_0 b$, que involucra a ω_0 que es la frecuencia natural más baja del sistema (Placa) por la dimensión b en la dirección y (ver figura 3.2.1.).

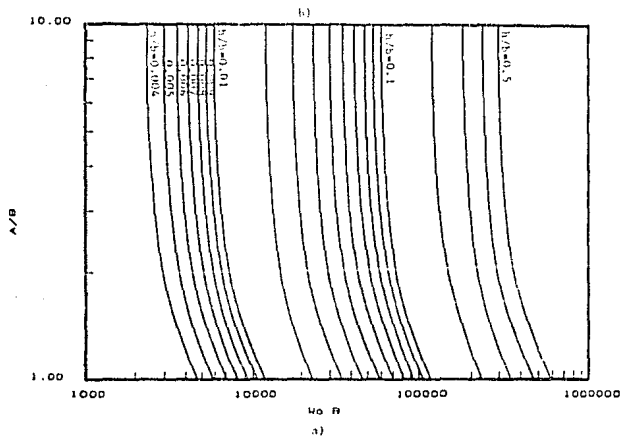
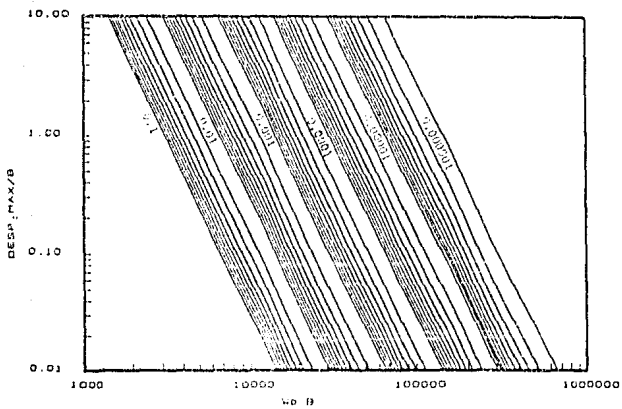


Figure 4.1.1.10.

| X B | Y η |
|-----------|-------------|
| 35.634429 | 0.000001 |
| 34.535818 | 0.000003 |
| 34.024993 | 0.000005 |
| 33.688521 | 0.000007 |
| 33.437207 | 0.000009 |
| 33.331847 | 0.000010 |
| 32.233240 | 0.000030 |
| 31.722420 | 0.000050 |
| 31.385959 | 0.000070 |
| 31.134644 | 0.000090 |
| 31.029286 | 0.000100 |
| 29.930730 | 0.000300 |
| 29.419962 | 0.000500 |
| 29.083547 | 0.000700 |
| 28.832289 | 0.000900 |
| 28.726956 | 0.001000 |
| 27.628910 | 0.003000 |
| 27.118650 | 0.005000 |
| 26.782751 | 0.007000 |
| 26.531999 | 0.009000 |
| 26.426922 | 0.010000 |
| 25.333967 | 0.030000 |
| 24.828745 | 0.050000 |
| 24.497823 | 0.070000 |
| 24.252010 | 0.090000 |
| 24.149374 | 0.100000 |

Tabla 4.1.1.15.

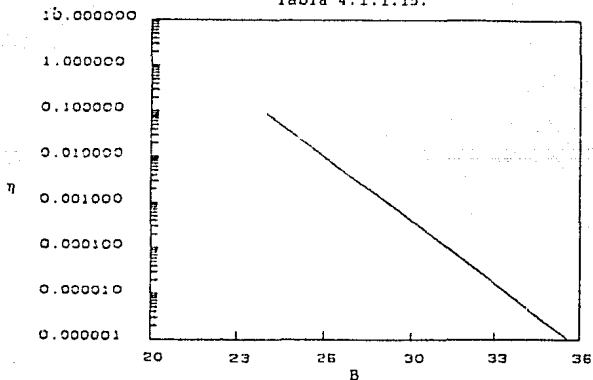


figura 4.1.1.15.

ESTA TESIS NO DEBE
SALIR DE LA BIBLIOTECA

Esta ecuación se ocupó para un rango de amortiguamiento histerético que es : $0.1 \leq \eta \leq 0.000001$, y los valores calculados con el modelo histerético comparados con los obtenidos con la ecuación (4.1.1.4.), resultan tener una sobre o subestimación máxima del 10%, dicha diferencia no es importante en ingeniería y se acepta.

Además este nomograma o la ecuación (4.1.1.4.) se pueden ocupar además de con amortiguamiento histerético, también para amortiguamiento viscoso equivalente, utilizando la ecuación (3.3.17.) la cual relaciona a ambos amortiguamientos.

Capítulo V.

5. Conclusiones.

De esta tesis podemos concluir para comenzar, que este modelo histerético (modelo con amortiguamiento de tipo histerético) presentado, con base en la teoría de Werner Soedel. (ocupando las funciones coordenadas) sigue una ley lineal sobre un sistema de ejes doble-logarítmicos, para los desplazamientos dinámicos máximos.

Segundo, se concluyó que el desplazamiento máximo dinámico se da cuando la frecuencia natural más baja coincide con la frecuencia de excitación (RESONANCIA) y no un poco antes como sucede en el caso de la referencia [1], y tercero, resulta que la respuesta es inversamente proporcional al valor del amortiguamiento histerético para η pequeños, como se puede ver en la tabla 4.1.1.14..

Cuarto, la principal contribución de esta tesis para el caso del modelo histerético es haber construido un nomograma como el que se presenta en la figura 4.1.1.10., el cual da una gran agilidad en el cálculo del desplazamiento dinámico máximo para cualquier placa con esta clase de amortiguamiento, y como el cual no se encontró nada parecido en la literatura consultada, y mucho menos una expresión matemática como la determinada en este trabajo, que es la ecuación (4.1.1.4.), y esto se realizó para el caso de una placa simplemente apoyada, pero esto mismo se puede realizar para otras condiciones de apoyo (empotrada-empotrada, etc.), para los cuales podemos asegurar que se presentará un comportamiento lineal, quedando por ampliar todavía más este tema.

Además se podrían probar diferentes condiciones de carga: en trabajos posteriores se buscará tomar en cuenta en el modelo histerético otros aspectos, y así poder llegar a un modelo mucho más completo para, si es posible, realizar ensayos finalmente en laboratorio, para así hacer una comparación más real entre el modelo matemático y un modelo experimental.

Quinto, a lo largo del desarrollo de la tesis pudimos verificar que la respuesta máxima estática podía determinarse contando con sólo la función de carga arbitraria que se quiera probar, y la frecuencia natural más baja, y se calcula con la expresión siguiente :

$$\delta_{\text{max}} = \frac{F_k}{\omega_k^2}$$

Lo que ,ocupado para el caso de vigas resulta algo muy importante, pues con solo proponer una función de carga cualquiera, conociendo la frecuencia natural mas baja, se podrá determinar la δ_{max} , y ésta multiplicada por el factor de amplificación dinámica para las condiciones de apoyo, ya sea simplemente apoyada, empotrada-empotrada, o cualquier otra condición de apoyo, podremos calcular el desplazamiento máximo dinámico de la viga.

REFERENCIAS.

- 1) Aviña-Lemus, Norma, "Vibraciones Libres y Forzadas en Estructuras de Pared Delgada", Tesis profesional, Facultad de Ingeniería, UNAM, México, D.F., 1987.
- 2) Soedel, Werner, "Vibrations of Shells and Plates", Marcel Dekker, Inc., New York, 1961.
- 3) R.E.D., Bishop and D.C. Johnson, "The Mechanics of Vibration", Cambridge University Press, 1960.
- 4) Thomson, William T., "Teoría de Vibraciones con Aplicaciones", Prentice-Hall Internacional, Englewood Cliffs, New York 07632, 1981.
- 5) Clough, Ray W. y Penzien, Joseph, "Dynamics of Structures", Mc. Graw-Hill Kogakusha, Inc., 1975.
- 6) A.W. Leissa and K.M. Iyer, "Modal Response of Circular Cylindrical Shells with Structural Damping, Journal of Sound and Vibration, Vol. 77(1), pp 1-10, 1981.
- 7) Volterra, Enrico and Zachmanoglou, E.C., "Dynamics of Vibrations", Charles E. Merrill Brooks, Inc., Columbus, Ohio, 1965.
- 8) Hinkle, Rolland T., Morse, Ivan E. and Tse, Francis S., "Mechanical Vibrations, Theory and Applications", Allyn and Bacon, Inc., Boston, Massachusetts, 2a. Ed., 1978.
- 9) Blevings, Robert D., "Formulas for Natural Frequency and Mode Shape", Robert Krieger Publishing Company, Malabar, Florida, 1979.
- 10) Timoshenko, Stephen, "Theory of Plates and Shells", Mc. Graw-Hill Kogakusha, Inc. Copyright, 1940, by the United Engineering Trustees.

11) V.G. Rekarch, "Problemas de la Teoría de la Elasticidad", Editorial Mir., Moscú, Traducción al español 1978.

Apéndice A.

Cálculo de la Energía Disipada por
una Carga, en una Placa
con Amortiguamiento Histerético (η).

Partiendo de la teoría de Soedel, se determina que la Energía Disipada por una placa simplemente apoyada en sus cuatro bordes, se calcula como:

$$E_d = \dot{\eta}_k U, \quad (1)$$

de donde

$$\eta_k = \Lambda_k e^{j(\omega t - \phi_k)} \quad (2)$$

Derivando la ec. (2) con respecto al tiempo, nos queda

$$\dot{\eta}_k = \Lambda_k j\omega e^{j(\omega t - \phi_k)} \quad (3)$$

Ahora tomando sólo la parte real de la ec. (3)

$$\dot{\eta}_k = \Lambda_k \omega \text{ Sen } (\omega t - \phi_k) \quad (4)$$

Además sabiendo que

$$\Lambda_k = \frac{F_k^0}{\omega_k^2 \sqrt{\left[1 - \left(\frac{\omega}{\omega_k}\right)^2\right]^2 + \eta^2}} \quad (5)$$

Finalmente sustituyendo (4) y (5) en (1) e integrando nos queda

$$E_d = \frac{16 F \omega}{\rho h m n \pi^2} \frac{\text{Sen}(\omega t - \phi_k)}{\omega_k^2 \sqrt{\left[1 - \left(\frac{\omega}{\omega_k}\right)^2\right]^2 + \eta^2}} \quad (6)$$

La ec.(6) sólo tendrá valor para $m = 1, 3, 5, 7, \dots$ y $n = 1, 3, 5, 7, \dots$ pues para modos pares la contribución es nula.

Ya con esta expresión (6) se calcula la energía disipada para el caso de dos placas, cuyos datos se presentan a continuación :

| | | | |
|---------------------|--|------------------------|------------------------|
| Placa de : | | $b = 16.5 \text{ in,}$ | $h = 0.375 \text{ in}$ |
| | | $\eta = 0.001$ | |
| Caso # 1 | | Caso # 2 | |
| $a = 52 \text{ in}$ | | $a = 26 \text{ in}$ | |

Realizando el calculo de la energía disipada para los dos casos, se obtuvieron los siguientes resultados, que son presentados en la siguiente tabla 1A y ilustrados en la figura 1A.

| Caso # 1 | | Caso # 2 | |
|----------|-------------|----------|-------------|
| t | Ed | t | Ed |
| 0.003490 | 6543757.00 | 0.002738 | 5134685.00 |
| 0.004188 | 5294597.00 | 0.003286 | 4154161.00 |
| 0.004886 | 2023078.00 | 0.003834 | 1586885.00 |
| 0.005584 | -2021187.00 | 0.004381 | -1586522.00 |
| 0.006282 | -5293424.00 | 0.004929 | -4153937.00 |
| 0.006980 | -6543757.00 | 0.005477 | -5134685.00 |
| 0.007678 | -5294595.00 | 0.006025 | -4154160.00 |
| 0.008376 | -2023082.00 | 0.006573 | -1586884.00 |
| 0.009074 | 2021187.00 | 0.007120 | 1586523.00 |
| 0.009773 | 5293424.00 | 0.007668 | 4153934.00 |
| 0.010471 | 6543757.00 | 0.008216 | 5134685.00 |

Tabla 1A.

Concluyendose finalmente, que la energia disipada para el primer caso es mucho mayor, que la del segundo caso, por lo cual será más difícil desplazar a la placa del caso 1 que la del caso 2.

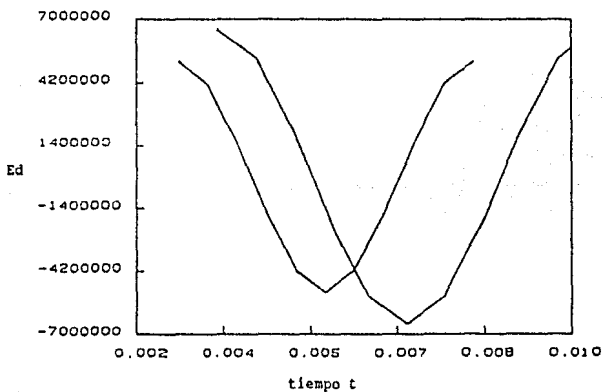


Figura 1A.